

曲豆豆的数学垃圾堆

(不成体系的杂笔) 1.01 版

曲豆豆 整理

2024 年 6 月 5 日



图: 曲豆豆穿上博士服, 就好像真的是博士一样.

目录

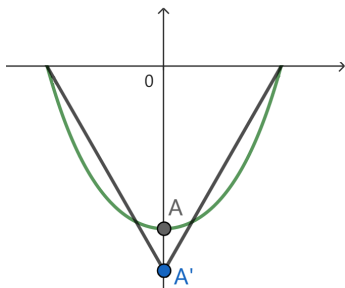
1	微积分、微分方程与数学模型	4
1.1	悬链线的重心	4
1.2	挖穿地球的最速降线	5
1.2.1	初步尝试: 直线隧道的情形	6
1.2.2	模型建立: 变分法, 欧拉-拉格朗日方程, 守恒量	7
1.2.3	模型求解: 定性分析与定量计算	11
1.2.4	球内最速降线的参数方程	15
1.2.5	初等几何解释, 圆内摆线	18
1.3	诺特定理: 对称性与守恒律	20
1.4	一个简单的正交矩阵积分计算题	23
2	代数、数论与密码学	26
2.1	多项式的结式及其应用	26
2.1.1	结式的概念与基本性质	26
2.1.2	用结式解多项式方程组	32
2.1.3	判别式与结式	34
2.1.4	代数数的零化多项式	37
2.2	Paillier 加密算法	39
3	初等概率论	43
3.1	重积分与几何概型	43
3.1.1	线段长度的期望	43
3.1.2	高维球的体积	44
3.2	De Moivre-Laplace 定理与正态分布	47

3.3	两正整数互素的概率	50
3.4	财务管理: Miller-Orr 模型	54
3.4.1	引言	54
3.4.2	故事背景	55
3.4.3	数学模型建立	57
3.4.4	机会成本的计算	60
3.4.5	交易成本的计算	62
3.4.6	最优现金返回线公式的推导	64
4	非交换代数与几何	66
4.1	B-C-H 公式及其应用	66
4.2	Schouten-Nijenhuis 括号与超泊松括号	71
4.3	什么是经典 R -矩阵?	77
4.3.1	经典 R -矩阵与双李代数	77
5	可积系统理论	80
5.1	Frobenius 流形的 Legendre 变换	80
5.2	中心不变量的简便计算	87

1. 微积分、微分方程与数学模型

1.1 悬链线的重心

如下图, 将一条质量分布均匀、可任意弯曲、不可伸缩的理想细绳的两端固定在天花板上, 该细绳在重力作用下自然下垂. 在细绳所在竖直平面上适当建立坐标系 xOy , 使得重力沿 y 轴负方向, 并且细绳两端点的坐标为 $(\pm R, 0)$, 细绳最低点为 A .



杨昊同学提出如下问题: 将细绳最低点 A 竖直向下拖动, 直到细绳被拉直为图中黑色折线, 从物理角度, 细绳在重力作用下自然下垂时处于稳定状态, 重心最低; 而被外力“拉直”之后, 重心显然会升高; 能否通过定量计算来验证此结论? 为此, 我们需要分别计算细绳在自然下垂时与被“拉直”时重心的位置.

众所周知, 细绳在自然下垂时的形状是**悬链线**, 其方程形如

$$y = \frac{1}{\omega} (\cosh \omega x - \cosh \omega R), \quad (1.1)$$

其中 $\omega, R > 0$ 为常数. 记该细绳的长度为 $2L$, 则

$$L := \int_0^R \sqrt{1 + (y')^2} dx = \int_0^R \cosh \omega x dx = \frac{1}{\omega} \sinh \omega R.$$

注意细绳关于 y 轴对称, 直接计算该细绳重心的纵坐标 y_0 如下:

$$\begin{aligned}
 y_0 &= \frac{1}{L} \int_0^R y \sqrt{1 + (y')^2} dx \\
 &= \frac{1}{\omega L} \int_0^R (\cosh \omega x - \cosh \omega R) \cosh \omega x dx \\
 &= \frac{1}{\sinh \omega R} \left(\int_0^R \cosh^2 \omega x dx - \cosh \omega R \int_0^R \cosh \omega x dx \right) \\
 &= \frac{1}{\sinh \omega R} \left(\int_0^R \frac{\cosh 2\omega x + 1}{2} dx - \frac{1}{\omega} \cosh \omega R \sinh \omega R \right) \\
 &= \frac{1}{\sinh \omega R} \left(\frac{R}{2} - \frac{\sinh \omega R \cosh \omega R}{2\omega} \right) \\
 &= \frac{R}{2 \sinh \omega R} - \frac{\cosh \omega R}{2\omega}.
 \end{aligned}$$

而细绳被“拉直”之后, 重心的纵坐标 \tilde{y}_0 为

$$\tilde{y}_0 = -\frac{1}{2} \sqrt{L^2 - R^2} = -\frac{1}{2\omega} \sqrt{\sinh^2 \omega R - \omega^2 R^2}.$$

于是只需验证不等式 $\tilde{y}_0 > y_0$ 即可, 具体步骤如下:

$$\begin{aligned}
 \tilde{y}_0 > y_0 &\Leftrightarrow \sinh \omega R \sqrt{\sinh^2 \omega R - \omega^2 R^2} < \sinh \omega R \cosh \omega R - \omega R \\
 &\Leftrightarrow \sinh^2 \omega R (\sinh^2 \omega R - \omega^2 R^2) < (\sinh \omega R \cosh \omega R - \omega R)^2 \\
 &\Leftrightarrow \sinh^2 \omega R - 2\omega R \sinh \omega R \cosh \omega R + \omega^2 R^2 \cosh^2 \omega R > 0 \\
 &\Leftrightarrow (\sinh \omega R - \omega R \cosh \omega R)^2 > 0,
 \end{aligned}$$

而由 $\omega R > 0$ 易知 $\sinh \omega R - \omega R \cosh \omega R \neq 0$, 从而得证.

1.2 挖穿地球的最速降线

最速降线问题众所周知, 现在我们考虑它的一个变种:

习题 1.1. 将地球视为半径为 R , 密度为 ρ 的均匀球体, 给定地球表面上的两点 A, B , 我们希望挖一条从 A 到 B 的地下隧道, 使得初速度为 0 的质点 m 从 A 出发在地球引力作用下 (不计一切摩擦) 沿隧道滑行至 B 所用时间最短. 不考虑地球自转的影响, 试求满足此要求的隧道的形状.

为研究此问题, 我们先做一些准备工作. 记 r 为质点到球心的距离 ($r \leq R$), 则众所周知, 质点 m 所受引力大小只与 r 有关, 且其值为

$$F(r) = \frac{Gm}{r^2} \cdot \frac{4}{3}\pi r^3 \rho = \frac{4\pi G\rho}{3}mr =: kmr,$$

这里 $k := \frac{4\pi G\rho}{3}$ 为常数, 其中 G 为万有引力常量. 从而质点的引力势能

$$V(r) = \frac{1}{2}kmr^2, \quad (r \leq R). \quad (1.2)$$

由于不计一切摩擦, 质点的机械能守恒, 因此当质点距离地心 r 时, 质点的速度大小 v 满足 $\frac{1}{2}mv^2 = V(R) - V(r)$, 整理得

$$v(r) = \sqrt{k(R^2 - r^2)}. \quad (1.3)$$

1.2.1 初步尝试: 直线隧道的情形

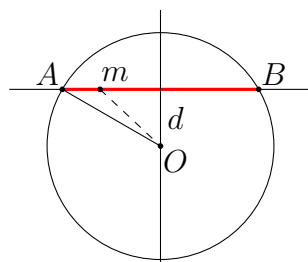


图: 直线隧道的情形

一种天真的想法是, 既然“两点之间线段最短”, 那就把隧道挖成连接 A, B 两点的线段. 这样的隧道长度最短, 但是否一定意味着沿隧道滑行所用时间最短呢? 我们不妨先考虑这种天真想法.

如上图, 设地心为 O , 在平面 ABO 建立以 O 为原点的直角坐标系使得隧道 (线段 AB) 平行于 x 轴, 记质点 m 的横坐标为 x , 点 O 到线段 AB 的距离为 d . 则由(1.3)式可知

$$\frac{dx}{dt} = \sqrt{k(R^2 - (x^2 + d^2))} = \sqrt{k(L^2 - x^2)},$$

其中 $L := \sqrt{R^2 - d^2}$ 为隧道长度的一半, 于是立刻求得质点从 A 到 B 的总滑行时间

$$\begin{aligned} T &= \int_{-L}^L \frac{dt}{dx} dx = \frac{2}{\sqrt{k}} \int_0^L \frac{1}{\sqrt{L^2 - x^2}} dx \\ &= \frac{2}{\sqrt{k}} \int_0^{\frac{\pi}{2}} \frac{1}{L \cos \alpha} \cdot L \cos \alpha d\alpha = \frac{\pi}{\sqrt{k}}. \end{aligned} \quad (1.4)$$

因此, 无论 A, B 两点距离如何, 质点沿线段隧道滑行的总时间始终为 $\frac{\pi}{\sqrt{k}}$. 特别地, 即使当 A, B 两点很接近, 沿线段隧道从 A 滑行到 B 的用时也还是 $\frac{\pi}{\sqrt{k}}$, 这就有些奇怪. 或许沿着笔直隧道滑行有些吃亏, 还应该有用时更短的路线.

1.2.2 模型建立: 变分法, 欧拉-拉格朗日方程, 守恒量

到底应该把隧道修成什么形状呢? 我们如下考虑:

1. 符合要求的隧道一定位于 OAB 平面内, 其中 O 为地心. 否则, 考虑该隧道在 OAB 平面的投影, 容易验证质点在该投影上的滑行时间比原来更短.

2. 于是, 在 OAB 平面上建立以 O 为原点的极坐标系 (r, θ) , 记 A, B 两点的角位置分别为 θ_0 与 $\theta_1 := \theta_0 + \Delta\theta$, 这里 $\Delta\theta$ 为 A, B 两点的角距离, 不妨 $0 < \Delta\theta \leq \pi$.
3. 在沿符合要求的隧道滑行时, 质点的角位置 $\theta(t)$ 关于时间 t 单调不减, 否则也可以适当修改隧道的形状使得滑行时间更短. 因此不妨先假设 $\theta(t)$ 关于 t 严格单调递增, 于是隧道的形状可用极坐标方程

$$r = r(\theta) \quad (1.5)$$

来描述. 这里的函数 $r(\theta)$ 满足边值条件

$$r(\theta_0) = r(\theta_1) = R, \quad (1.6)$$

我们需要求出函数 $r(\theta)$ 的解析式.

4. 对于沿符合要求的隧道 $r = r(\theta)$ 滑行的质点, 当质点角位置为 θ 时, 质点的速度大小 v 满足

$$v^2 = \dot{r}^2 + r^2 \dot{\theta}^2 = (r_\theta^2 + r^2) \dot{\theta}^2,$$

其中 $\dot{r} = \frac{dr}{dt}$, $\dot{\theta} = \frac{d\theta}{dt}$, $r_\theta = \frac{dr}{d\theta}$. 又由(1.3)式可知 $v^2 = k(R^2 - r^2)$, 从而 $\frac{d\theta}{dt} = \sqrt{k \frac{R^2 - r^2}{r_\theta^2 + r^2}}$, 因此质点从 A 滑行到 B 所用时间为

$$\begin{aligned} T[r] &= \int_{\theta_0}^{\theta_1} \frac{dt}{d\theta} d\theta = \frac{1}{\sqrt{k}} \int_{\theta_0}^{\theta_1} \sqrt{\frac{r_\theta^2 + r^2}{R^2 - r^2}} d\theta \\ &=: \int_{\theta_0}^{\theta_1} L(r, r_\theta) d\theta, \end{aligned} \quad (1.7)$$

其中函数

$$L(r, r_\theta) := \sqrt{\frac{r_\theta^2 + r^2}{k(R^2 - r^2)}} \quad (1.8)$$

是此系统的拉格朗日量. 注意总时间 $T[r]$ 与隧道的形状, 即函数 $r(\theta)$ 有关, 它是“函数 $r(\theta)$ 的函数”, 即所谓的泛函.

5. 于是问题转化为: 求定义在 $[\theta_0, \theta_1]$ 且满足边值条件(1.5)的函数 $r(\theta)$, 使得总时间 $T[r]$ (1.7)取到最小值. 这是典型的泛函极值问题, 我们需要用变分法.

这里不妨再次回顾变分法的基本思想: 假设隧道 $r = r(\theta)$ 使得总时间 $T[r]$ 最短, 那么把这条隧道的形状稍微改变一点点, 那么质点沿改变后的隧道滑行的总时间将不比原来短; 特别注意, 在改变隧道形状过程中隧道两 endpoints 的位置始终不变.

6. 设 $r = r(\theta)$ 是符合要求的隧道. 任取函数 $a: [\theta_0, \theta_1] \rightarrow \mathbb{R}$ 使得

$$a(\theta_0) = a(\theta_1) = 0,$$

并任取足够接近 0 的参数 ε , 则沿曲线 $\theta \mapsto r(\theta) + \varepsilon a(\theta)$ 的滑行时间不少于沿 $r(\theta)$ 的滑行时间, 即 $T[r + \varepsilon a] \geq T[r]$, 从而

$$\left. \frac{d}{d\varepsilon} \right|_{\varepsilon=0} T[r + \varepsilon a] = 0$$

对任何满足 $a(\theta_0) = a(\theta_1) = 0$ 的函数 $a(\theta)$ 都成立. 而

$$\begin{aligned} 0 &= \left. \frac{d}{d\varepsilon} \right|_{\varepsilon=0} T[r + \varepsilon a] = \left. \frac{d}{d\varepsilon} \right|_{\varepsilon=0} \int_{\theta_0}^{\theta_1} L(r + \varepsilon a, r_\theta + \varepsilon a_\theta) d\theta \\ &= \int_{\theta_0}^{\theta_1} \left(\frac{\partial L}{\partial r} \cdot a + \frac{\partial L}{\partial r_\theta} \cdot a_\theta \right) d\theta = \int_{\theta_0}^{\theta_1} a \frac{\partial L}{\partial r} d\theta + \int_{\theta_0}^{\theta_1} \frac{\partial L}{\partial r_\theta} da \\ &= \int_{\theta_0}^{\theta_1} a \left(\frac{\partial L}{\partial r} - \frac{d}{d\theta} \frac{\partial L}{\partial r_\theta} \right) d\theta, \end{aligned}$$

这里 $L := L(r, r_\theta)$. 再由函数 $a(\theta)$ 的任意性, 立即得到

$$\frac{\partial L}{\partial r} - \frac{d}{d\theta} \frac{\partial L}{\partial r_\theta} = 0, \quad (1.9)$$

这正是著名的**欧拉-拉格朗日方程**. 将 L 的表达式(1.8)代入上述方程, 经过一番暴力的求导计算 (建议用计算机完成) 整理得

$$r(R^2 - r^2)r_{\theta\theta} = (2R^2 - r^2)r_\theta^2 + R^2r^2, \quad (1.10)$$

这是关于 $r(\theta)$ 的二阶常微分方程, 其形式复杂, 难以直接求解.

7. 不过我们可以通过寻找**守恒量**来简化计算. 由(1.9)可得

$$\frac{dL}{d\theta} = \frac{\partial L}{\partial r}r_\theta + \frac{\partial L}{\partial r_\theta}r_{\theta\theta} = \left(\frac{d}{dt}\frac{\partial L}{\partial r_\theta}\right)r_\theta + \frac{\partial L}{\partial r_\theta}r_{\theta\theta} = \frac{d}{d\theta}\left(r_\theta\frac{\partial L}{\partial r_\theta}\right),$$

因此

$$H := L - r_\theta\frac{\partial L}{\partial r_\theta} \quad (1.11)$$

是守恒量 (常数), 称为此系统的**哈密顿量**; 而从 L 得到 H 的上述操作常被称为**勒让德变换**.

8. 将拉格朗日量 L 的表达式(1.8)代入方程(1.11), 得

$$H = \frac{r^2}{\sqrt{k(R^2 - r^2)(r^2 + r_\theta^2)}} \geq 0,$$

变形整理得

$$r_\theta^2 = r^2 \left(\frac{1}{kH^2} \frac{r^2}{R^2 - r^2} - 1 \right), \quad (1.12)$$

这是关于函数 $r(\theta)$ 的一阶常微分方程.

综上所述, 符合要求的隧道 $r = r(\theta)$ 应满足方程(1.10), 从而满足方程(1.12). 注意这里面的 k, H 都为常数, 并且 $k = \frac{4\pi G\rho}{3} > 0, H \geq 0$. 接下来只需要研究此方程.

1.2.3 模型求解: 定性分析与定量计算

在定量求解方程(1.12)之前, 我们先对它作一些定性分析.

1. 注意方程(1.12)左边恒非负, 于是

$$r^2 \left(\frac{1}{kH^2} \frac{r^2}{R^2 - r^2} - 1 \right) \geq 0,$$

这当且仅当

$$r \geq \sqrt{\frac{kH^2}{1 + kH^2}} R. \quad (1.13)$$

这表明隧道上的点到地心的距离 r 不小于 $\sqrt{\frac{kH^2}{1+kH^2}} R$. 此外注意(1.13)的等号成立当且仅当 $r_\theta = 0$.

由于 $r(\theta_0) = r(\theta_1) = R$, 从而由一元微积分中的罗尔定理可知存在某个角位置 $\xi \in (\theta_0, \theta_1)$ 使得 $r_\theta(\xi) = 0$. 此时(1.13)取到等号, 因此隧道最低点到地心的距离

$$d = \sqrt{\frac{kH^2}{1 + kH^2}} R. \quad (1.14)$$

可见, 隧道最低点到地心的距离 d 与参数 H 有关, H 越大则 d 越接近 R , 从而隧道越“浅”; 而当 $H = 0$ 时 $d = 0$, 隧道经过地心.

2. 关于函数 $r(\theta)$ 的单调性. 将(1.12)两边开方得

$$r_\theta = \pm r \sqrt{\frac{1}{kH^2} \frac{r^2}{R^2 - r^2} - 1}, \quad (1.15)$$

我们应妥善处理上式右边的正负号. 由方程(1.10)可知

$$r_{\theta\theta} = \frac{(2R^2 - r^2)r_\theta^2 + R^2 r^2}{r(R^2 - r^2)} > 0,$$

从而导函数 r_θ 在区间 (θ_1, θ_2) 严格递增. 又因为在 $\theta = \xi$ 处有 $r_\theta(\xi) = 0$, 从而函数 $r(\theta)$ 的单调性总结如下:

θ	(θ_1, ξ)	ξ	(ξ, θ_2)
$\frac{dr}{d\theta}$	—	0	+
r	\searrow	最小值	\nearrow

特别地, $r(\theta)$ 满足微分方程

$$r_\theta = \begin{cases} -r \sqrt{\frac{1}{kH^2} \frac{r^2}{R^2 - r^2} - 1}, & \theta \in (\theta_1, \xi) \\ r \sqrt{\frac{1}{kH^2} \frac{r^2}{R^2 - r^2} - 1}, & \theta \in (\xi, \theta_2) \end{cases}. \quad (1.16)$$

- 注意 $r(\theta)$ 满足边值条件(1.5), 从而当 $\theta \rightarrow \theta_1$ 或者 $\theta \rightarrow \theta_2$ 时, $r \rightarrow R$; 此时由(1.16)可知 $r_\theta \rightarrow \infty$. 这说明曲线 $r = r(\theta)$ 在两端点 A, B 处的切线经过地心.
- 我们可以把隧道最低点的角位置 ξ 定量计算出来. 只需注意

$$\begin{aligned} \xi - \theta_1 &= \int_{\theta_1}^{\xi} d\theta = \int_R^d \frac{d\theta}{dr} dr \\ &= \int_d^R \frac{1}{r} \left(\frac{1}{kH^2} \frac{r^2}{R^2 - r^2} - 1 \right)^{-\frac{1}{2}} dr, \end{aligned}$$

为计算上述定积分, 我们考虑换元 $r \leftrightarrow \varphi$ 如下:

$$\coth^2 \varphi = \frac{1}{kH^2} \frac{r^2}{R^2 - r^2} \quad \Leftrightarrow \quad r^2 = R^2 \frac{kH^2 \coth^2 \varphi}{1 + kH^2 \coth^2 \varphi}, \quad (1.17)$$

则容易验证

$$\frac{dr}{r} = -\frac{1}{(1 + kH^2 \coth^2 \varphi) \sinh \varphi \cosh \varphi},$$

$$\left(\frac{1}{kH^2} \frac{r^2}{R^2 - r^2} - 1 \right)^{-\frac{1}{2}} = \sinh \varphi.$$

此外, 当 $r \rightarrow R$ 时, $\coth^2 \varphi \rightarrow +\infty$, 从而 $\varphi \rightarrow 0$; 当 $r \rightarrow d = \sqrt{\frac{kH^2}{1+kH^2}} R$ 时, $\coth^2 \varphi \rightarrow 1$, 从而 $\varphi \rightarrow +\infty$. 于是原积分化为

$$\begin{aligned} \xi - \theta_1 &= \int_d^R \frac{1}{r} \left(\frac{1}{kH^2} \frac{r^2}{R^2 - r^2} - 1 \right)^{-\frac{1}{2}} dr \\ &= \int_0^{+\infty} \frac{1}{1 + kH^2 \coth^2 \varphi} \frac{1}{\cosh \varphi} d\varphi \\ &= \int_0^{+\infty} \frac{1}{1 + kH^2 \coth^2 \varphi} \frac{1}{\cosh^2 \varphi} d \sinh \varphi \\ &= \frac{1}{1 + kH^2} \int_0^{+\infty} \frac{t^2}{(t^2 + 1) \left(t^2 + \frac{kH^2}{1+kH^2} \right)} dt \\ &= \frac{\pi}{2} \left(1 - \sqrt{\frac{kH^2}{1 + kH^2}} \right). \end{aligned}$$

在区间 (ξ, θ_2) 中执行完全类似的操作, 也能得到

$$\theta_2 - \xi = \frac{\pi}{2} \left(1 - \sqrt{\frac{kH^2}{1 + kH^2}} \right),$$

于是 $\xi - \theta_1 = \theta_2 - \xi$, 所以 ξ 恰为区间 (θ_1, θ_2) 的中点, 即

$$\xi = \frac{\theta_1 + \theta_2}{2}. \quad (1.18)$$

此外, 隧道两 endpoints A, B 的角距离 $\Delta\theta$ 满足

$$\begin{aligned} \Delta\theta &= \theta_2 - \theta_1 = (\theta_2 - \xi) + (\xi - \theta_1) \\ &= \pi \left(1 - \sqrt{\frac{kH^2}{1 + kH^2}} \right), \end{aligned} \quad (1.19)$$

由此解得

$$H = \frac{1}{\sqrt{k}} \frac{1 - \frac{\Delta\theta}{\pi}}{\sqrt{1 - \left(1 - \frac{\Delta\theta}{\pi}\right)^2}}, \quad (1.20)$$

可见参数 H 与隧道两端的角距离有关, 随角距离 $\Delta\theta$ 的增大而减小; 这也是参数 H 的几何意义.

5. 我们甚至还可以把在轨滑行的总时间算出来, 并将其与“天真的”线段轨道情形(1.4)做作比较. 我们先算出质点从起点 $\theta = \theta_1$ 滑到最低点 $\theta = \xi$ 所用的时间 T_1 . 由(1.7)(1.8)以及(1.16)可得

$$\begin{aligned} T_1 &= \frac{1}{\sqrt{k}} \int_{\theta_1}^{\xi} \sqrt{\frac{r_{\theta}^2 + r^2}{R^2 - r^2}} d\theta = \frac{1}{kH} \int_{\theta_1}^{\xi} \frac{r^2}{R^2 - r^2} d\theta \\ &= \frac{1}{kH} \int_R^d \frac{r^2}{R^2 - r^2} \frac{d\theta}{dr} dr \\ &= \frac{1}{kH} \int_R^d \frac{r^2}{R^2 - r^2} \frac{1}{r} \left(\frac{1}{kH^2} \frac{r^2}{R^2 - r^2} - 1 \right)^{-\frac{1}{2}} dr \\ &= H \int_0^{+\infty} \frac{\cosh \varphi}{\sinh^2 \varphi (1 + kH^2 \coth^2 \varphi)} d\varphi \quad (\text{换元(1.17)}) \\ &= \frac{H}{1 + kH^2} \int_0^{+\infty} \frac{dt}{t^2 + \frac{kH^2}{1 + kH^2}} \quad (\text{换元 } t = \sinh \varphi) \\ &= \frac{\pi}{2\sqrt{k}} \frac{1}{\sqrt{1 + kH^2}}. \end{aligned}$$

同理, 质点从最低点 $\theta = \xi$ 滑行到终点 $\theta = \theta_2$ 所用的时间 T_2 也为 $\frac{\pi}{2\sqrt{k}} \frac{1}{\sqrt{1 + kH^2}}$, 因此质点在此隧道滑行的总时长

$$T = \frac{\pi}{\sqrt{k}} \frac{1}{\sqrt{1 + kH^2}} \leq \frac{\pi}{\sqrt{k}}. \quad (1.21)$$

可见沿此隧道滑行用时确实比之前沿线段轨道滑行更省时间, 且 H 的值越大, 效果越明显.

1.2.4 球内最速降线的参数方程

我们暂时停下前进的脚步, 总结已有的结果. 记地心为 O , 给定地球表面 A, B 两点, 我们有以下输入数据:

- R, ρ : 分别为地球的半径与密度; G : 万有引力常数;
- $k := \frac{4\pi G\rho}{3}$ 是常数, 由地球本身所决定;
- $\Delta\theta$: 隧道起点与终点的角距离, 即 $\angle AOB$ 的大小, 取值于 $(0, \pi]$.

我们将符合题设的连接 A, B 两点的地下隧道称为**球内最速降线**, 即在连接 A, B 的所有地下隧道中, 质点从 A 静止出发沿此隧道滑行至 B 的用时最短. 我们已有球内最速降线的如下参数:

- d : 球内最速降线上的点到地心的最近距离;
- H : 质点在沿球内最速降线滑行过程中的某守恒量;
- T : 质点沿球内最速降线从 A 静止出发滑行至 B 的用时.

d, H, T 自然视为 $\Delta\theta$ 的函数, 其具体表达式如下 (留做习题):

$$d = \left(1 - \frac{\Delta\theta}{\pi}\right) R, \quad (1.22)$$

$$H = \frac{1}{\sqrt{k}} \frac{1 - \frac{\Delta\theta}{\pi}}{\sqrt{1 - \left(1 - \frac{\Delta\theta}{\pi}\right)^2}}, \quad (1.23)$$

$$T = \frac{\pi}{\sqrt{k}} \sqrt{1 - \left(1 - \frac{\Delta\theta}{\pi}\right)^2}. \quad (1.24)$$

也容易看出, 给定 $d, H, T, \Delta\theta$ 这四个参数之中的任何一个, 其余三个将被唯一确定.

下面我们来写出球内最速降线的具体表达式. 我们已有球内最速降线的微分方程(1.16), 这是最简单的常微分方程, 按道理说两边直接积分暴力计算就能解出来, 但我们还是想把方程的解写得漂亮一些. 用(1.14)将微分方程(1.16)中的常数 H 用 d 来表示, 有

$$\frac{dr}{d\theta} = \begin{cases} -\frac{rR}{d} \sqrt{\frac{r^2-d^2}{R^2-r^2}} & \theta \in (\theta_1, \xi), \\ \frac{rR}{d} \sqrt{\frac{r^2-d^2}{R^2-r^2}} & \theta \in (\xi, \theta_2), \end{cases} \quad (1.25)$$

其中 ξ 为轨道离地心最近处的角位置, 在前文已经得到 $\xi = \frac{\theta_1+\theta_2}{2}$. 我们想绕开避免对上述方程右端正负号的分段讨论, 于是先如下观察: 当 θ 从 θ_1 变化到 ξ 时, r 从 R 单调减少至 d , 从而 $\sqrt{\frac{r^2-d^2}{R^2-r^2}}$ 从 $+\infty$ 单调减少至 0; 同理也可分析当 θ 从 ξ 变化到 θ_2 时 $\sqrt{\frac{r^2-d^2}{R^2-r^2}}$ 的变化情况. 于是注意到, $\pm\sqrt{\frac{r^2-d^2}{R^2-r^2}}$ 在区间 (θ_1, θ_2) 的变化趋势非常像 $\phi \mapsto \cot \frac{\phi}{2}$ 在 $\phi \in (0, 2\pi)$ 中的样子. 从而考虑引入中间变量 ϕ 如下

$$\cot \frac{\phi}{2} := \begin{cases} \sqrt{\frac{r^2-d^2}{R^2-r^2}} & \phi \in (0, \pi]; \\ -\sqrt{\frac{r^2-d^2}{R^2-r^2}} & \phi \in (\pi, 2\pi), \end{cases} \quad (1.26)$$

将 ϕ 视为新的自变量, 并将 r, θ 都视为关于 ϕ 的函数. 则由上式可知 r 与 ϕ 满足如下关系 (留给读者练习):

$$r^2 = \frac{R^2 + d^2}{2} + \frac{R^2 - d^2}{2} \cos \phi, \quad \phi \in (0, 2\pi), \quad (1.27)$$

后文将说明此式的初等几何含义. 而由微分方程(1.25)可得 θ 与 ϕ 满足如下关系:

$$\begin{aligned} \frac{d\theta}{d\phi} &= \frac{d\theta}{dr} \cdot \frac{dr}{d\phi} = -\frac{d}{Rr} \tan \frac{\phi}{2} \cdot \frac{-(R^2 - d^2)}{4r} \sin \phi \\ &= \frac{d(R^2 - d^2)}{2R} \cdot \frac{1 - \cos \phi}{(R^2 + d^2) + (R^2 - d^2) \cos \phi}, \end{aligned}$$

从而有

$$\begin{aligned}
 \theta &= \frac{d(R^2 - d^2)}{2R} \int \frac{1 - \cos \phi}{(R^2 + d^2) + (R^2 - d^2) \cos \phi} d\phi \\
 &= \frac{d(R^2 - d^2)}{2R} \int \frac{1 - \frac{t^2-1}{t^2+1}}{(R^2 + d^2) + (R^2 - d^2) \frac{t^2-1}{t^2+1}} \cdot \frac{-2}{t^2+1} dt \\
 &\quad (\text{万能代换 } t = \cot \frac{\phi}{2}) \\
 &= -\frac{d(R^2 - d^2)}{R^3} \int \frac{1}{(t^2 + 1) \left(t^2 + \frac{d^2}{R^2}\right)} dt \\
 &= \frac{d}{R} \int \left(\frac{1}{t^2 + 1} - \frac{1}{t^2 + \frac{d^2}{R^2}} \right) dt \\
 &= \frac{d}{R} \cdot \frac{\pi - \phi}{2} - \arctan \left(\frac{R}{d} \cot \frac{\phi}{2} \right) + C,
 \end{aligned}$$

注意初值条件: 当 $\phi \rightarrow 0$ 时 $\theta \rightarrow \theta_1$, 由此可确定积分常数

$$C = \theta_1 + \left(1 - \frac{d}{R}\right) \frac{\pi}{2}.$$

综上所述, 我们有:

性质 1.2. 记号承上, 则球内最速降线在极坐标下的参数方程为:

$$\begin{cases} r = \left(\frac{R^2 + d^2}{2} + \frac{R^2 - d^2}{2} \cos \phi \right)^{\frac{1}{2}}, \\ \theta = \theta_1 - \frac{d}{2R} \phi + \frac{\pi}{2} - \arctan \left(\frac{R}{d} \cot \frac{\phi}{2} \right), \end{cases} \quad (1.28)$$

其中参数 $\phi \in (0, 2\pi)$.

我们对此参数方程稍作讨论. 在前文(1.22)我们已有 $\Delta\theta = \pi \left(1 - \frac{d}{R}\right)$; 于是当参数 ϕ 分别趋于 $0, 2\pi$ 时, θ 分别趋于 θ_1 以及 $\theta_1 + \pi \left(1 - \frac{d}{R}\right) =$

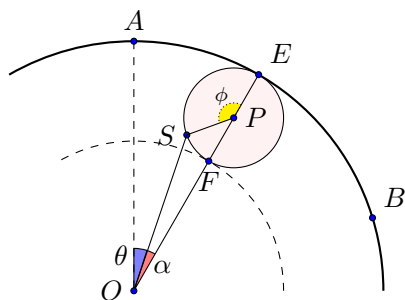
$\theta_1 + \Delta\theta = \theta_2$, 这与前文结果吻合. 此外, 当参数 $\phi = \pi$ 时, $\theta = \theta_1 + \frac{\pi}{2} \left(1 - \frac{d}{R}\right) = \theta_1 + \xi$, 其中 ξ 见前文(1.18)式, 是球内最速降线距地心最近点的角位置; 而此时 $r = \left(\frac{R^2+d^2}{2} - \frac{R^2-d^2}{2}\right)^{\frac{1}{2}} = d$ 也就应该是离地心的最近距离.

1.2.5 初等几何解释, 圆内摆线

球内最速降线的参数方程(1.28)中的参数 $\phi \in (0, 2\pi)$ 有明显的初等几何含义. 只需将 $r = r(\phi)$ 的解析式改写为

$$r^2 = \left(\frac{R+d}{2}\right)^2 + \left(\frac{R-d}{2}\right)^2 + 2 \cdot \frac{R+d}{2} \cdot \frac{R-d}{2} \cos \phi, \quad (1.29)$$

就不难发现这很像初等几何学中的余弦定理表达式, 只不过这里的 ϕ 代表某个三角形的外角而不是内角. 另一个观察是, 隧道起点与终点的球面距离 (大圆弧长) 为 $R\Delta\theta = \pi(R-d)$, 这恰为半径为 $\frac{R-d}{2}$ 的圆的周长.



(1.30)

事实上, 想象一个半径为 $\frac{R-d}{2}$ 的圆, 记作 $\odot P$, 此圆与地球 (记作 $\odot O$) 内切于点 A , $\odot P$ 上的一个定点 S 与 A 重合 (上图未画出); 令 $\odot P$ 沿 $\odot O$ 内壁无打滑地向 B 点滚动, 滚动过程中两圆始终内切, 切点记作 E . 当滚动角度 ϕ 时, 点 S 的位置如上图所示. 由前文可知, 当 $\odot P$ 滚动一周

后,两圆恰好内切于点 B . 我们断言: 在此滚动过程中, 点 S 的轨迹即为球内最速降线; 反之, 球内最速降线都形如此.

在上图中, $|PS| = \frac{R-d}{2}$ 为 $\odot P$ 的半径, $|OP| = \frac{R+d}{2}$, $|OF| = d$, $\phi := \angle EOS$ 为 $\odot P$ 的旋转角, $\theta := \angle AOS$ 表示点 S 的角位置 (这里不妨 $\theta_1 = 0$, 并且临时约定 θ 沿顺时针方向为正; 此外, 图中所画为滚动角度 ϕ 很小的情形), 再记 $\alpha := \angle SOP$, 以及 $r := |OS|$ 为 S 到地心的距离. 于是在 $\triangle OSP$ 中使用余弦定理, 立即得知 r 与 ϕ 所满足的关系恰为(1.29).

$\odot P$ 不打滑地滚动表明圆弧 ES 与 EA 的弧长相等, 从而

$$\theta - \theta_1 = \frac{R-d}{2R}\phi - \alpha \quad (1.31)$$

(图中所标注的 θ 实际应该是 $\theta - \theta_1$). 接下来只需用 ϕ 来表示 α . 在 $\triangle OSP$ 中分别使用正弦定理与余弦定理可得

$$\sin \alpha = \frac{R-d}{2r} \sin \phi, \quad \cos \alpha = \frac{r^2 + Rd}{r(R+d)},$$

两式相除并再次使用(1.29)式, 整理得

$$\tan \alpha = \frac{(R-d) \sin \phi}{(R+d) + (R-d) \cos \phi} = \frac{(R-d) \cot \frac{\phi}{2}}{R \cot^2 \frac{\phi}{2} + d},$$

并注意 $|\alpha| < \frac{\pi}{2}$, 因此

$$\alpha = \arctan \frac{(R-d) \cot \frac{\phi}{2}}{R \cot^2 \frac{\phi}{2} + d}.$$

将此代入(1.31)可得 $\theta = \theta(\phi)$ 的表达式如下:

$$\theta = \theta_1 + \frac{R-d}{2R}\phi - \arctan \frac{(R-d) \cot \frac{\phi}{2}}{R \cot^2 \frac{\phi}{2} + d}, \quad (1.32)$$

这看起来似乎与参数方程(1.28)第二式不太一样？但其实是一样的，我们只需继续整理下去：

$$\begin{aligned}
 (1.32) \text{右边} &= \theta_1 - \frac{d}{2R}\phi + \frac{\pi}{2} - \frac{\pi - \phi}{2} - \arctan \frac{(R-d) \cot \frac{\phi}{2}}{R \cot^2 \frac{\phi}{2} + d} \\
 &= \theta_1 - \frac{d}{2R}\phi + \frac{\pi}{2} - \left(\arctan \cot \frac{\phi}{2} + \arctan \frac{(R-d) \cot \frac{\phi}{2}}{R \cot^2 \frac{\phi}{2} + d} \right) \\
 &= \theta_1 - \frac{d}{2R}\phi + \frac{\pi}{2} - \arctan \frac{\cot \frac{\phi}{2} + \frac{(R-d) \cot \frac{\phi}{2}}{R \cot^2 \frac{\phi}{2} + d}}{1 - \frac{(R-d) \cot^2 \frac{\phi}{2}}{R \cot^2 \frac{\phi}{2} + d}} \\
 &= \theta_1 - \frac{d}{2R}\phi + \frac{\pi}{2} - \arctan \left(\frac{R}{d} \cot \frac{\phi}{2} \right),
 \end{aligned}$$

刚好是参数方程(1.28)的第二式。从而断言得证。

这也给参数方程(1.28)中的参数 ϕ 以几何解释：小圆沿大圆内壁滚动的角度。由此初等几何解释，球内最速降线也被称为圆内摆线。

1.3 诺特定理：对称性与守恒律

笔者从小就被洗脑“空间平移不变 \Leftrightarrow 动量守恒”，“时间平移不变 \Leftrightarrow 能量守恒”，以及更一般的“对称性等价于守恒律”，但笔者小时候只把这当成一句哲学理念，而未深究其数学表述。而如今，我们稍微花一点点精力来思考一下对称性与守恒律的关系，尤其是：时间平移不变怎么就能量守恒了？

设某个物理系统的拉格朗日量为

$$L = L(\mathbf{q}, \dot{\mathbf{q}}, t), \quad (1.33)$$

其中 $\mathbf{q} = (q^1, q^2, \dots, q^n)$ 为广义坐标。众所周知，该系统随时间的演化

$t \mapsto \mathbf{q}(t)$ 满足欧拉-拉格朗日方程

$$\frac{d}{dt} \frac{\partial L}{\partial \dot{q}^i} = \frac{\partial L}{\partial q^i}, \quad 1 \leq i \leq n. \quad (1.34)$$

演化路径 $t \mapsto \mathbf{q}(t)$ 的无穷小变换是指形如

$$\begin{aligned} \mathbf{q}(t) &\mapsto \tilde{\mathbf{q}}(t) := \mathbf{q}(t) + \varepsilon \cdot \delta \mathbf{q}(t), \\ t &\mapsto \tilde{t} := t + \varepsilon \cdot \delta t, \end{aligned} \quad (1.35)$$

的变量替换, 其中 $t \mapsto \delta \mathbf{q}(t)$ 是给定的函数, δt 是给定的常数, 而 ε 为无穷小量. 熟练的读者可以像物理学家一样把 ε 略去不写, 而直接把 $\delta \mathbf{q}, \delta t$ 视为无穷小量.

如果无穷小变换(1.35)使得

$$\delta L := \left. \frac{d}{d\varepsilon} \right|_{\varepsilon=0} L(\tilde{\mathbf{q}}(\tilde{t}), \dot{\tilde{\mathbf{q}}}(\tilde{t}), \tilde{t}) = 0, \quad (1.36)$$

称为该无穷小变换为无穷小对称. 这正是所谓“对称性”.

下面看如何从对称性导出“守恒律”. 设 $t \mapsto \mathbf{q}(t)$ 为系统随时间的演化, 它满足欧拉-拉格朗日方程(1.34); 对任意无穷小变换(1.35), 对无穷小量 ε 泰勒展开直接计算得

$$\begin{aligned} L(\tilde{\mathbf{q}}(\tilde{t}), \dot{\tilde{\mathbf{q}}}(\tilde{t}), \tilde{t}) &= L(\mathbf{q}, \dot{\mathbf{q}}, t) + \varepsilon \left(\frac{\partial L}{\partial q^i} \dot{q}^i + \frac{\partial L}{\partial \dot{q}^i} \ddot{q}^i + \frac{\partial L}{\partial t} \right) \delta t \\ &\quad + \varepsilon \left(\frac{\partial L}{\partial q^i} \delta q^i + \frac{\partial L}{\partial \dot{q}^i} \delta \dot{q}^i \right) + O(\varepsilon^2), \end{aligned}$$

从而立刻得到

$$\begin{aligned} \delta L &= \left(\frac{\partial L}{\partial q^i} \dot{q}^i + \frac{\partial L}{\partial \dot{q}^i} \ddot{q}^i + \frac{\partial L}{\partial t} \right) \delta t + \left(\frac{\partial L}{\partial q^i} \delta q^i + \frac{\partial L}{\partial \dot{q}^i} \delta \dot{q}^i \right) \\ &= \frac{dL}{dt} \delta t + \left[\frac{d}{dt} \left(\frac{\partial L}{\partial \dot{q}^i} \right) \delta q^i + \frac{\partial L}{\partial \dot{q}^i} \delta \dot{q}^i \right] \end{aligned}$$

$$= \frac{d}{dt} \left(\frac{\partial L}{\partial \dot{q}^i} \delta q^i + L \delta t \right) = \frac{d}{dt} (p_i \delta q^i + L \delta t),$$

其中 $p_i := \frac{\partial L}{\partial \dot{q}^i}$ 是广义动量. 这表明, (1.35) 是无穷小对称, 当且仅当

$$p_i \delta q^i + L \delta t \quad (1.37)$$

是守恒量. 此乃著名的诺特定理 (的拉格朗日力学版本).

下面考察一些例子.

例题 1.3. (空间平移不变 \Leftrightarrow 动量守恒). 给定向量 $\mathbf{q}_0 = (q_0^1, \dots, q_0^n) \in \mathbb{R}^n$, 考虑沿 \mathbf{q}_0 方向的空间平移变换

$$\mathbf{q}(t) \mapsto \mathbf{q}(t) + \varepsilon \mathbf{q}_0,$$

相应的无穷小变换(1.35)满足

$$\delta t = 0, \quad \delta q^i = q_0^i, \quad (1 \leq i \leq n).$$

若它是无穷小对称, 则相应的守恒量(1.37)为 $p_i q_0^i$, 这恰为广义动量 \mathbf{p} 在 \mathbf{q}_0 方向的分量 (的常数倍).

例题 1.4. (时间平移不变 \Leftrightarrow 能量守恒). 考虑时间平移变换

$$\begin{aligned} \mathbf{q}(t) &\mapsto \mathbf{q}(t - \varepsilon) = \mathbf{q}(t) - \varepsilon \dot{\mathbf{q}}(t) + O(\varepsilon^2), \\ t &\mapsto t + \varepsilon, \end{aligned}$$

相应的无穷小变换(1.35)满足

$$\delta t = 1, \quad \delta q^i = -\dot{q}^i, \quad (1 \leq i \leq n).$$

若它是无穷小对称, 则相应的守恒量(1.37)为 $-p_i \dot{q}^i + L$, 这恰为该系统的哈密顿量 $H = p_i \dot{q}^i - L$ 的常数倍.

例题 1.5.(空间旋转不变 \Leftrightarrow 角动量守恒). 考虑 \mathbb{R}^3 中的单粒子系统

$$L = \frac{1}{2}m|\dot{\mathbf{r}}|^2 - V(\mathbf{r}),$$

其中 $\mathbf{r} = (x, y, z)$ 为粒子的位置. 给定 $\boldsymbol{\omega} \in \mathbb{R}^3$, 考虑位置矢量 \mathbf{r} 绕原点以角速度 $\boldsymbol{\omega}$ 的旋转变换, 其无穷小变换满足

$$\delta \mathbf{r} = \boldsymbol{\omega} \times \mathbf{r}, \quad \delta t = 0.$$

若它是无穷小对称, 则相应的守恒量(1.37)为

$$\mathbf{p} \cdot \delta \mathbf{r} = \mathbf{p} \cdot (\boldsymbol{\omega} \times \mathbf{r}) = \boldsymbol{\omega} \cdot (\mathbf{r} \times \mathbf{p}) = \boldsymbol{\omega} \cdot \mathbf{J},$$

这恰为粒子角动量 \mathbf{J} 在角速度 $\boldsymbol{\omega}$ 方向上的分量 (的常数倍).

1.4 一个简单的正交矩阵积分计算题

2024 年 6 月 4 日上午, 北京某高校. 不懂分析 的 LSQ 老师听说笔者最近在学习矩阵积分, 便决定出题考一考笔者. 题目是这样的:

习题 1.6. 考虑正交群 $O(n)$ 上使得其体积为 1 的 Harr 测度 dX . 在此意义下, 等式

$$\int_{O(n)} \text{tr} X \, dX = 0, \tag{1.38}$$

$$\int_{O(n)} (\text{tr} X)^2 dX = 1 \tag{1.39}$$

为什么成立呢?

LSQ 进一步解释道: 这里的正交群 $O(n)$ 显然被视为概率空间, Harr 测度 dX 是相应的概率测度, 而正交矩阵的迹 $\text{tr} X$ 被视为随机变量. 在

此意义下, 等式(1.38)(1.39)相当于说, 随机变量 $\text{tr}X$ 的均值与方差分别为 0, 1.

据 LSQ 说, 这题是某人问他的. 提问者以为此题很难, 需要用高等工具, 比如李群理论中的 Weyl 积分公式之类的. 但实际上, 这题很初等. 笔者读完题目后就立刻注意到, 考虑换元积分

$$X \mapsto -X,$$

则 $\int_{O(n)} \text{tr}X \, dX = -\int_{O(n)} \text{tr}X \, dX$, 因此(1.38)成立. 这个做法利用了积分区域 $O(n)$ 的对称性, 本质上与奇函数在对称区间上的积分为零没什么区别. LSQ 对此表示满意, 随后吐槽道: 毕竟 $O(n)$ 有两个连通分支, 如果把积分区域换成连通分支 $SO(n)$, 或许就非常困难了.

这个困难的问题暂且不提, 我们来看(1.39)为什么成立. 笔者当时站在黑板前, 对着此式发呆数分钟也毫无想法, 毕竟式中的平方项使得对称换元 $X \mapsto -X$ 技巧无效.

LSQ 见笔者毫无想法, 忍不住公布了答案, 他给的解法既暴力又优雅——暴力之处在于强行展开矩阵元, 逐个矩阵元考虑; 优雅之处在于充分利用积分区域 $O(n)$ 的对称性. 具体如下:

(1.39)式的证明. 首先直接展开得

$$\begin{aligned} \int_{O(n)} (\text{tr}X)^2 dX &= \sum_{i,j=1}^n \int_{O(n)} X_{ii} X_{jj} dX \\ &= \sum_{i=1}^n \int_{O(n)} X_{ii}^2 dx + \sum_{i \neq j} \int_{O(n)} X_{ii} X_{jj} dX. \end{aligned}$$

若 $i \neq j$, 考虑将矩阵 X 的第 j 列乘以 (-1) 而其余各列保持不变的变换, 显然 $O(n)$ 在该变换下保持不变, 由此易知 $\int_{O(n)} X_{ii} X_{jj} dX = 0$. 之后考虑对 X 作行置换, 列置换, 显然这种操作也保持 $O(n)$ 不变, 由此可

知对任意 $i, j, k, \ell \in \{1, 2, \dots, n\}$ 都有

$$\int_{O(n)} X_{ij}^2 dX = \int_{O(n)} X_{k\ell}^2 dX,$$

从而

$$\int_{O(n)} (\text{tr} X)^2 dX = \sum_{i=1}^n \int_{O(n)} X_{ii}^2 dX = n \int_{O(n)} X_{11}^2 dX.$$

于是我们只需要计算 X 的某个矩阵元平方的期望. 而这是容易的: 注意 X 为正交矩阵, $X^T X = I$, 于是

$$n = \int_{O(n)} \text{tr}(X^T X) dX = \sum_{i,j=1}^n \int_{O(n)} X_{ij}^2 dX = n^2 \int_{O(n)} X_{11}^2 dX,$$

从而 $\int_{O(n)} X_{11}^2 dX = \frac{1}{n}$. 因此 $\int_{O(n)} (\text{tr} X)^2 dX = n \int_{O(n)} X_{11}^2 dX = 1$. \square

之后笔者便与 LSQ 闲扯了几句, 闲扯之中偶然提到, 如果把(1.39)左边稍微改一下, 把 trace 的平方改成平方的 trace , 那是否也能计算? 即能否计算出

$$\int_{O(n)} \text{tr}(X^2) dX$$

的值. 简单讨论后我们发现, 这个变式也很容易, 用完全相同的处理技巧即可: 首先直接展开

$$\int_{O(n)} \text{tr}(X^2) dX = \sum_{i=1}^n \int_{O(n)} X_{ii}^2 dX + \sum_{i \neq j} \int_{O(n)} X_{ij} X_{ji} dX.$$

右边第一项已经做过; 而当 $i \neq j$ 时, 依然考虑将 X 的第 j 列乘以 (-1) 而其余列保持不变的变换, 由此易知 $\int_{O(n)} X_{ij} X_{ji} dX = 0$. 综上, 我们有

$$\int_{O(n)} \text{tr}(X^2) dX = 1.$$

2. 代数、数论与密码学

2.1 多项式的结式及其应用

数论、代数、代数几何等领域常出现与多项式有关的具体计算. 处理这些计算问题的工具有很多, **结式 (resultant)** 是其中之一. 结式是发展于 19 世纪的古老工具, 最初被用于求解多元多项式方程组; 虽说如今似乎有些过时, 被更现代的工具所替代 (例如 **Gröbner 基**), 但结式在理论推导与具体计算上仍有值得借鉴之处. 本节介绍结式的概念与性质, 及其在代数学领域中的若干应用.

在本节我们约定:

1. A 是唯一分解整环 (UFD), 例如 \mathbb{Z} , $\mathbb{Z}[x_1, x_2, \dots, x_n]$ 等.
2. $A[x]$ 是环 A 上的多项式环. 则由代数学中众所周知的结果, $A[x]$ 也是 UFD. 对于正整数 n , 记

$$A^{(n)}[x] := \{f \in A[x] \mid \deg f < n\},$$

注意 $A^{(n)}[x]$ 是秩为 n 的自由 A -模.

3. 记 $\mathbb{F} := \text{Frac}(A)$ 是整环 A 的分式域, $\overline{\mathbb{F}}$ 是 \mathbb{F} 的代数闭包.

2.1.1 结式的概念与基本性质

我们想研究如下问题: 对于多项式 $f, g \in A[x]$, 如何判断 f, g 的最大公因式的次数是否大于 1? [其实想问: 如何判断 f 与 g 在 \mathbb{F} 的代数

闭包上是否有公共零点?] 若 R 是域, 则可以用欧几里得辗转相除法. 而对于一般情况, 注意到:

引理 2.1. 设多项式 $f, g \in A[x]$ 的次数分别为 m, n , 记 $d := \gcd(f, g)$ 为 f 与 g 的最大公因式, 则

$$\deg d \geq 1 \iff \exists (u, v) \in A^{(n)}[x] \times A^{(m)}[x], \quad uf + vg = 0.$$

证明. 如果 f, g 不互素, 则 $\deg d \geq 1$, 此时取 $u := \frac{g}{d}, v := -\frac{f}{d}$ 即可. 另一方面, 如果存在符合题设的 u, v , 则由 $uf + vg = 0$ 可知 $f|vg$, 从而 $\frac{f}{d}|v \cdot \frac{g}{d}$. 而 $\frac{f}{d}$ 与 $\frac{g}{d}$ 互素, 因此 $\frac{f}{d}|v$. 于是 $m > \deg v \geq \deg \frac{f}{d} = m - \deg d$, 所以 $\deg d \geq 1$. 引理得证. \square

引入自由 A -模同态 $R_{f,g}: A^{(n)}[x] \times A^{(m)}[x] \rightarrow A^{(n+m)}[x]$ 如下:

$$R_{f,g}(u, v) := uf + vg. \quad (2.40)$$

则引理 2.1 可改写为: $\deg d \geq 1$ 当且仅当 $R_{f,g}$ 不是单同态. 注意 $A^{(n)}[x]$ 是自由 A -模, 具有标准基 $\{1, x, x^2, \dots, x^{n-1}\}$; 并且 $R_{f,g}$ 可用标准基下的矩阵来表示. 若记

$$\begin{aligned} f &= f_0 + f_1x + f_2x^2 + \cdots + f_mx^m, \\ g &= g_0 + g_1x + g_2x^2 + \cdots + g_nx^n, \end{aligned} \quad (2.41)$$

其中 $f_i, g_i \in A$, 且 $f_m, g_n \neq 0$, 则自由 A -模同态 $R_{f,g}$ 在标准基下的矩阵

为

$$\text{Syl}_x(f, g) := \begin{pmatrix} f_0 & & & g_0 & & \\ f_1 & f_0 & & g_1 & \ddots & \\ \vdots & f_1 & \ddots & g_2 & \ddots & g_0 \\ f_m & \vdots & \ddots & f_0 & \vdots & \ddots & g_1 \\ & f_m & & f_1 & g_n & & g_2 \\ & & \ddots & \vdots & & \ddots & \vdots \\ & & & f_m & & & g_n \end{pmatrix}, \quad (2.42)$$

该矩阵称为多项式 f 与 g 的 **Sylvester 矩阵**. 注意 $\text{Syl}(f, g)$ 是环 A 上的 $(n + m)$ 阶方阵, 其主对角线由 n 个 f_0 与 m 个 g_n 组成.

定义 2.2. 对于多项式 $f, g \in A[x]$, 记

$$\text{Res}_x(f, g) := \det \text{Syl}_x(f, g), \quad (2.43)$$

称为多项式 f 与 g 的**结式**(resultant).

考虑 Sylvester 矩阵 $\text{Syl}_x(f, g)$ 的伴随矩阵 $\text{Syl}_x^*(f, g)$, 即

$$\text{Syl}_x(f, g) \text{Syl}_x^*(f, g) = \det \text{Syl}_x(f, g) \cdot I_{n+m} = \text{Res}_x(f, g) \cdot I_{n+m},$$

其中 I_{n+m} 是环 A 上的 $(n + m)$ 阶单位矩阵. 由此容易证明:

习题 2.3. 设 $f, g \in A[x]$ 的次数分别为 m, n , 记 $d := \gcd(f, g)$, 则

1. $\deg d > 1$ 当且仅当 $\text{Res}_x(f, g) = 0$.
2. 存在 $(u, v) \in A^{(n)}[x] \times A^{(m)}[x]$ 使得 $\text{Res}_x(f, g) = uf + vg$.

上述习题的 (2) 表明, $\text{Res}_x(f, g)$ 属于环 $A[x]$ 的由 f, g 所生成的理想.

考虑环 A 的分式域 $\mathbb{F} := \text{Frac } A$, 并记 $\overline{\mathbb{F}}$ 为 \mathbb{F} 的代数闭包 (或足够大的扩域), 则(2.41)式在 $\overline{\mathbb{F}}$ 中可分解为

$$\begin{aligned} f &= f_m(x - \alpha_1)(x - \alpha_2) \cdots (x - \alpha_m), \\ g &= g_n(x - \beta_1)(x - \beta_2) \cdots (x - \beta_n), \end{aligned} \quad (2.44)$$

其中 $\alpha_1, \dots, \alpha_m$ 与 β_1, \dots, β_n 都是 $\overline{\mathbb{F}}$ 中的元素, 它们分别为多项式 f 与 g 的根.

定理 2.4. 记号承上, 则有

$$\text{Res}_x(f, g) = f_m^n g_n^m \prod_{\substack{1 \leq i \leq m \\ 1 \leq j \leq n}} (\beta_j - \alpha_i). \quad (2.45)$$

特别地, $\text{Res}_x(f, g) = 0$ 当且仅当 f, g 在 $\overline{\mathbb{F}}$ 上有公共根.

证明. 引入 A 上的 $(m + n + 2)$ 元多项式环

$$\hat{A} := A[\hat{f}_m, \hat{g}_n; \hat{\alpha}_1, \dots, \hat{\alpha}_m; \hat{\beta}_1, \dots, \hat{\beta}_n],$$

其中 $\hat{f}_m, \hat{g}_n; \hat{\alpha}_1, \dots, \hat{\alpha}_m; \hat{\beta}_1, \dots, \hat{\beta}_n$ 是独立的形式变元. 再引入多项式 $\hat{f}, \hat{g} \in \hat{A}[x]$ 如下:

$$\begin{aligned} \hat{f} &:= \hat{f}_m(x - \hat{\alpha}_1)(x - \hat{\alpha}_2) \cdots (x - \hat{\alpha}_m), \\ \hat{g} &:= \hat{g}_n(x - \hat{\beta}_1)(x - \hat{\beta}_2) \cdots (x - \hat{\beta}_n). \end{aligned}$$

注意如下 A -模同态 $\text{ev}: \hat{A} \rightarrow \overline{\mathbb{F}}$

$$\hat{f}_m \mapsto f_m, \quad \hat{g}_n \mapsto g_n, \quad \hat{\alpha}_i \mapsto \alpha_i, \quad \hat{\beta}_j \mapsto \beta_j.$$

如果证明了 \hat{A} 上的等式

$$\text{Res}_x(\hat{f}, \hat{g}) = \hat{f}_m^n \hat{g}_n^m \prod_{\substack{1 \leq i \leq m \\ 1 \leq j \leq n}} (\hat{\beta}_j - \hat{\alpha}_i), \quad (2.46)$$

则将此式两边作用 ev 即得证. 下证(2.46)式.

直接考察 \hat{f} 与 \hat{g} 的 Sylvester 矩阵, 由行列式的基本性质易知

$$\text{Res}_x(\hat{f}, \hat{g}) = \hat{f}_m^n \hat{g}_n^m \hat{H},$$

$$\text{其中 } \hat{H} := \text{Res}_x \left(\prod_{i=1}^m (x - \hat{\alpha}_i), \prod_{j=1}^n (x - \hat{\beta}_j) \right) \in A[\hat{\alpha}_1, \dots, \hat{\alpha}_m; \hat{\beta}_1, \dots, \hat{\beta}_n].$$

将 \hat{H} 视为环 $A[\hat{\alpha}_1, \dots, \hat{\alpha}_m]$ 上的关于变元 $\hat{\beta}_1, \dots, \hat{\beta}_n$ 的多项式. 对于每个 $1 \leq j \leq n$ 以及 $1 \leq i \leq m$, 注意当 $\hat{\beta}_j = \hat{\alpha}_i$ 时, $\prod_{i=1}^m (x - \hat{\alpha}_i)$ 与 $\prod_{j=1}^n (x - \hat{\beta}_j)$ 具有次数 ≥ 1 的公因式, 从而由习题2.3可知 $\hat{H}|_{\hat{\beta}_j = \hat{\alpha}_i} = 0$. 这表明 \hat{H} 能被 $(\hat{\beta}_j - \hat{\alpha}_i)$ 整除. 从而 \hat{H} 形如

$$\hat{H} = \hat{C} \prod_{\substack{1 \leq i \leq m \\ 1 \leq j \leq n}} (\hat{\beta}_j - \hat{\alpha}_i), \quad (2.47)$$

其中 $\hat{C} \in A[\hat{\alpha}_1, \dots, \hat{\alpha}_m; \hat{\beta}_1, \dots, \hat{\beta}_n]$. 下面只需证明 $\hat{C} = 1$.

对每个 $1 \leq j \leq n$, 将 \hat{H} 与 \hat{C} 视为关于 $\hat{\beta}_j$ 的多项式, 则由(2.47),

$$\deg_{\hat{\beta}_j} \hat{H} = \deg_{\hat{\beta}_j} \hat{C} + m.$$

另一方面, 直接写出 Sylvester 矩阵 $\text{Syl}_x(\hat{f}, \hat{g})$ 并观察其行列式, 易知 $\deg_{\hat{\beta}_j} \hat{H} \leq m$. 从而 $\deg_{\hat{\beta}_j} \hat{C} = 0$. 同理 $\deg_{\hat{\alpha}_i} \hat{C} = 0$. 因此 $\hat{C} \in A$.

在(2.47)式中, 令 $\hat{\beta}_1 = \hat{\beta}_2 = \dots = \hat{\beta}_n = 0$, 则该式右边等于 $\hat{C}(-1)^{mn}(\hat{\alpha}_1 \hat{\alpha}_2 \dots \hat{\alpha}_m)^n$. 另一方面, 注意此时 Sylvester 矩阵

$$\text{Syl}_x \left(\prod_{i=1}^m (x - \hat{\alpha}_i), x^n \right)$$

是上三角阵, 直接计算其行列式可知 $\hat{H} = (-1)^{mn}(\hat{\alpha}_1 \hat{\alpha}_2 \dots \hat{\alpha}_m)^n$. 因此 $\hat{C} = 1$, 定理得证. \square

由此定理, 立刻得到结式的诸多运算性质, 见下述习题.

习题 2.5. 若 $f, g, h \in A[x]$, $\varepsilon \in A$, 记 $m := \deg f$, $n := \deg g$, 则有

1. $\text{Res}_x(g, f) = (-1)^{mn} \text{Res}_x(f, g).$
2. $\text{Res}_x(\varepsilon f, g) = \varepsilon^n \text{Res}_x(f, g).$
3. $\text{Res}_x(f, x - \varepsilon) = f(\varepsilon).$
4. $\text{Res}_x(fg, h) = \text{Res}_x(f, h) \text{Res}_x(g, h).$

习题 2.6. 记号同上题, 则还有如下性质:

1. $\text{Res}_x(f(x + \varepsilon), g(x + \varepsilon)) = \text{Res}_x(f(x), g(x)).$
2. $\text{Res}_x(f(\varepsilon x), g(\varepsilon x)) = \varepsilon^{mn} \text{Res}_x(f(x), g(x)).$

我们还有如下重要性质:

性质 2.7. 设 $f, g \in A[x]$ 的次数分别为 m, n , 若存在 $q, r \in A[x]$ 使得

$$f = qg + r,$$

且 $k := \deg r < \deg g$, 则

$$\text{Res}_x(f, g) = (-1)^{nk} g_n^{m-k} \text{Res}_x(g, r),$$

其中 g_n 为 g 的最高次项 x^n 的系数.

证明. 在 $\mathbb{F} := \text{Frac } A$ 的足够大的扩域中, 记 $g(x) = g_n(x - \beta_1) \cdots (x - \beta_n)$, 则

$$\text{Res}_x(f, g) = g_n^m \text{Res}_x\left(f, \prod_{j=1}^n (x - \beta_j)\right)$$

$$\begin{aligned}
&= g_n^m \prod_{j=1}^n f(\beta_j) = g_n^m \prod_{j=1}^n r(\beta_j) \\
&= g_n^{m-k} \operatorname{Res}_x(r, g) = (-1)^{nk} g_n^{m-k} \operatorname{Res}_x(g, r),
\end{aligned}$$

得证. □

注记 2.8. 上述性质给出了计算结式的高效算法.

2.1.2 用结式解多项式方程组

历史上, 结式最初被用于求解多项式方程组. 对于二元多项式 $f, g \in \mathbb{C}[x, y]$, 我们希望在 \mathbb{C} (或其他代数闭域) 中解关于 x, y 的方程组

$$\begin{cases} f(x, y) = 0, \\ g(x, y) = 0. \end{cases} \quad (2.48)$$

注意到, 如果 $(x_0, y_0) \in \mathbb{C}^2$ 是方程组(2.48)的一个解, 则 y_0 是多项式 $f, g \in \mathbb{C}[x, y] \cong (\mathbb{C}[x])[y]$ 的公共根; 特别地, f 与 g 作为环 $\mathbb{C}[x]$ 上的关于 y 的多项式, 有公共根, 所以 $\operatorname{Res}_y(f, g) = 0$. 这其实是消元法, 将 y 消掉.

上述“消元法”容易推广到更多元的多项式上. 例如我们随手编一道题:

习题 2.9. 在 \mathbb{C} 上解关于 x, y, z 的方程组

$$\begin{cases} xz + y^2 + z^2 = 8, \\ 4xy + 5yz^3 = 9, \\ x^2 + 3y^2z + 23 = 0. \end{cases} \quad (2.49)$$

$[(x, y, z) = (2, 3, -1)]$ 是该方程组的一个解. 除此之外还有别的解吗?

解. 将方程组中的 3 个方程都视为环 $\mathbb{C}[x, y]$ 上的关于变元 z 的多项式.

类似原因, 应该有
$$\begin{cases} \text{Res}_z(y^2 - 8 + xz + z^2, 4xy - 9 + 5yz^3) = 0 \\ \text{Res}_z(y^2 - 8 + xz + z^2, x^2 + 23 + 3y^2z) = 0 \end{cases},$$
 经计算可得

$$\begin{cases} 20x^4y^2 - 45x^3y - 60x^2y^4 + 464x^2y^2 + 135xy^3 + 1008xy \\ \quad - 25y^8 + 600y^6 - 4800y^4 + 12800y^2 - 81 = 0 \\ x^4 - 3x^3y^2 + 46x^2 - 69xy^2 + 9y^6 - 72y^4 + 529 = 0 \end{cases},$$

从而将 z 消去, 只需求解上述关于 x, y 的方程组. 再用结式消去 y , 经过暴力计算可得关于 x 的多项式方程

$$(x - 2)^2 F(x) G(x) = 0, \quad (2.50)$$

其中 $F, G \in \mathbb{C}[x]$ 的次数分别是 15, 17, 具体表达式分别是

$$\begin{aligned} F(x) = & 15625x^{15} - 283750x^{14} - 964900x^{13} + 8656000x^{12} + 50966940x^{11} \\ & + 1644957015x^{10} + 14207783014x^9 + 86652061193x^8 \\ & + 616119120680x^7 + 2814555246283x^6 + 11437322767827x^5 \\ & + 48009988716483x^4 + 114975459599056x^3 \\ & + 286286988616187x^2 + 638569073069411x \\ & - 476809020260513, \end{aligned}$$

$$\begin{aligned} G(x) = & 7290000x^{17} - 15255000x^{16} + 715407625x^{15} - 2725329625x^{14} \\ & + 38123578475x^{13} - 172670600675x^{12} + 1346691556605x^{11} \\ & - 5925967748625x^{10} + 31792829112199x^9 - 123786880325107x^8 \\ & + 478133593383110x^7 - 1480393966386167x^6 \\ & + 3818405557147272x^5 - 7920782241197577x^4 \end{aligned}$$

$$\begin{aligned}
& + 9272495275430911x^3 - 6717415381685293x^2 \\
& + 2902982359159976x - 476809020260513.
\end{aligned}$$

从而由(2.50)解得 $x = 2$, 或者 x 是多项式 F 或 G 的根. 对于上述每个 x , 再去求解 y, z 即可. 计算过程过于暴力, 从略. 但至少能看出, 原方程组除了 $(x, y, z) = (2, 3, -1)$ 这组解之外, 肯定还有别的解. \square

注记 2.10. 结式的计算可由计算机完成, 例如用符号计算软件 Mathematica.

```

In[14]:= A = Resultant[x z + y^2 + z^2 - 8, 4 x y + 5 y z^3 - 9, z]
          | 结式
          B = Resultant[x z + y^2 + z^2 - 8, x^2 + 3 y^2 z + 23, z]
          | 结式

Out[14]= 81 + 1008 x y + 45 x^3 y - 12 800 y^2 - 464 x^2 y^2 -
          20 x^4 y^2 - 135 x y^3 + 4800 y^4 + 60 x^2 y^4 - 600 y^6 + 25 y^8

Out[15]= 529 + 46 x^2 + x^4 - 69 x y^2 - 3 x^3 y^2 - 72 y^4 + 9 y^6

In[17]:= Resultant[A, B, y] // Factor
          | 结式                      | 因式分解

```

2.1.3 判别式与结式

对于多项式 $f \in A[x]$, 我们关心 f 是否有重根. 如果 $\alpha \in \overline{\mathbb{F}}$ 是 f 的重根, 则 f 能被 $(x - \alpha)^2$ 整除, 记 $f = (x - \alpha)^2 g$, 其中 $g \in \overline{\mathbb{F}}[x]$, 则

$$f' := \frac{df}{dx} = (x - \alpha)(2g + (x - \alpha)g'),$$

从而 f 与 f' 有公因式 $(x - \alpha)$, 因此 $\text{Res}_x(f, f') = 0$.

性质 2.11. 设 $f = f_0 + f_1x + \cdots + f_mx^m \in A[x]$, 其中 $f_m \neq 0$, 则

$$\operatorname{Res}_x(f, f') = (-1)^{\frac{m(m-1)}{2}} f_m^{2m-1} \prod_{i < j} (\alpha_i - \alpha_j)^2, \quad (2.51)$$

其中 $\alpha_1, \dots, \alpha_m \in \overline{\mathbb{F}}$ 使得 $f = f_m \prod_{i=1}^m (x - \alpha_i)$.

证明. 从而由结式的运算性质 (见习题2.5) 并注意

$$f' = \sum_{i=1}^m \prod_{j \neq i} (x - \alpha_j),$$

直接计算如下:

$$\begin{aligned} \operatorname{Res}_x(f, f') &= f_m^{2m-1} \operatorname{Res}_x \left(\prod_{i=1}^m (x - \alpha_i), f' \right) \\ &= (-1)^{m(m-1)} f_m^{2m-1} \prod_{i=1}^m \operatorname{Res}_x(f', x - \alpha_i) \\ &= (-1)^{m(m-1)} f_m^{2m-1} \prod_{k=1}^m f'(\alpha_k) \\ &= (-1)^{\frac{m(m-1)}{2}} f_m^{2m-1} \prod_{1 \leq i < j \leq m} (\alpha_i - \alpha_j)^2, \end{aligned}$$

从而得证. □

定义 2.12. 设 $f = f_0 + f_1x + \cdots + f_mx^m \in A[x]$, 其中 $f_m \neq 0$, 定义

$$\text{Disc}_x(f) := f_m^{2m-2} \prod_{1 \leq i < j \leq m} (\alpha_i - \alpha_j)^2, \quad (2.52)$$

其中 $\alpha_1, \dots, \alpha_m \in \overline{\mathbb{F}}$ 使得 $f = f_m \prod_{i=1}^m (x - \alpha_i)$. 上述 $\text{Disc}_x(f)$ 称为多项式 f 的判别式 (*discriminant*).

由定义可知, f 有重根当且仅当判别式 $\text{Disc}_x(f) = 0$; 而性质 2.11 表明判别式与结式满足关系

$$f_m \text{Disc}_x(f) = (-1)^{\frac{m(m-1)}{2}} \text{Res}_x(f, f'). \quad (2.53)$$

此外, 通过简单计算也容易验证, 对任意 $f, g \in A[x]$ 都有

$$\text{Disc}_x(fg) = \text{Disc}_x(f) \text{Disc}_x(g) [\text{Res}_x(f, g)]^2. \quad (2.54)$$

[提示: 利用 (2.45)(2.53) 式直接验证之.]

例题 2.13. 若 $f = ax^2 + bx + c \in A[x]$ 是 2 次多项式, 则 $f' = 2ax + b$, 从而

$$\text{Disc}_x(f) = -\frac{1}{a} \text{Res}_x(ax^2 + bx + c, 2ax + b) = b^2 - 4ac,$$

与初中数学所谓 $\Delta = b^2 - 4ac$ 相符合.

例题 2.14. 若 $f = x^3 + ax + b \in A[x]$, 验证: $\text{Disc}_x(x) = -4a^3 - 27b^2$.

例题 2.15. 设 p 为奇素数, 验证: 分圆多项式 (cyclotomic polynomial)

$$\Phi_p(x) := \frac{x^p - 1}{x - 1} = x^{p-1} + x^{p-2} + \cdots + x + 1 \in \mathbb{Z}[x] \quad (2.55)$$

的判别式 $\text{Disc}_x(\Phi_p) = (-1)^{\frac{p-1}{2}} p^{p-2}$.

证明. 注意 $(x-1)\Phi_p = x^p - 1$, 利用(2.54)式直接计算即可, 留给读者. \square

2.1.4 代数数的零化多项式

我们知道, 对于实数 $\alpha \in \mathbb{C}$, 如果存在整系数多项式 $f \in \mathbb{Z}[x]$ 使得 $f(\alpha) = 0$, 则称 α 为代数数, f 是 α 的一个零化多项式. 记

$$\mathbb{A} := \{\alpha \in \mathbb{C} \mid \alpha \text{ 是代数数}\} \quad (2.56)$$

为全体代数数构成的集合.

例题 2.16. 设 $\alpha, \beta \in \mathbb{C}$ 分别满足方程 $\alpha^3 - \alpha + 3 = 0$ 与 $\beta^4 - 3\beta + 1 = 0$. 试寻找多项式 $f \in \mathbb{Z}[x]$ 使得 $f(\alpha + \beta) = 0$, 从而 $\alpha + \beta$ 也是代数数.

解. 记 $x := \alpha + \beta$, 则 α, β, x 满足多项式方程组

$$\begin{cases} \alpha^3 - \alpha + 3 = 0 \\ \beta^4 - 3\beta + 1 = 0 \\ x - \alpha - \beta = 0, \end{cases}$$

之后用2.1.2小节的消元法将 α, β 消去, 即可得 x 满足的多项式方程. 易知 $\alpha + \beta$ 的零化多项式 $f(x)$ 可以取为

$$\begin{aligned} f(x) &= \text{Res}_\beta (\text{Res}_\alpha (\alpha^3 - 3\alpha + 3, x - \alpha - \beta), \beta^4 - 3\beta + 1) \\ &= -x^{12} + 4x^{10} - 3x^9 - 9x^8 + 36x^7 - 247x^6 \\ &\quad + 126x^5 + 312x^4 - 693x^3 - 251x^2 - 24x - 13. \end{aligned}$$

\square

例题 2.17. $\alpha, \beta \in \mathbb{C}$ 同上题, 试寻找多项式 $g \in \mathbb{Z}[x]$ 使得 $g(\alpha\beta) = 0$, 从而 $\alpha\beta$ 也是代数数.

解. 记 $x := \alpha\beta$, 则 α, β, x 满足多项式方程组

$$\begin{cases} \alpha^3 - \alpha + 3 = 0 \\ \beta^4 - 3\beta + 1 = 0 \\ x - \alpha\beta = 0, \end{cases}$$

用结式消去 α, β 即可得到 x 满足的多项式方程. 易知 $x = \alpha\beta$ 的零化多项式 $g(x)$ 可以取为

$$\begin{aligned} g(x) &= \text{Res}_\beta (\text{Res}_\alpha (\alpha^3 - 3\alpha + 3, x - \alpha\beta), \beta^4 - 3\beta + 1) \\ &= -x^{12} - 27x^9 - 2x^8 - 234x^6 + 9x^5 \\ &\quad + 35x^4 - 729x^3 + 81x - 81. \end{aligned}$$

□

将上述方法推广到一般, 容易证明:

定理 2.18. 设 $\alpha, \beta \in \mathbb{A}$, 则 $\alpha \pm \beta \in \mathbb{A}$, $\alpha\beta \in \mathbb{A}$, 并且当 $\beta \neq 0$ 时还有 $\frac{\alpha}{\beta} \in \mathbb{A}$.

[从而 \mathbb{A} 关于通常的加法与乘法运算构成域, 称为代数数域.]

证明. 用结式消元方法可以直接得到 $\alpha \pm \beta, \alpha\beta, \frac{\alpha}{\beta}$ 的零化多项式, 请读者自行总结相应的算法.

□

2.2 Paillier 加密算法

Paillier 加密算法是一个支持加法同态的公钥密码系统, 由 **Paillier** 在 1999 年的欧密会 (EUROCRYPT) 上首次提出. 该算法效率较高, 安全性证明完备, 从而具有广泛的实际应用. 本节介绍该算法及其数学原理.

对于正整数 n , 记 $\mathbb{Z}_n := \mathbb{Z}/n\mathbb{Z}$, 则 \mathbb{Z}_n 在通常的加法与乘法运算下构成交换环. \mathbb{Z}_n^* 为 \mathbb{Z}_n 的乘法单位群. 众所周知, 群 \mathbb{Z}_n^* 的阶为 $\phi(n)$, 其中 ϕ 为欧拉 ϕ -函数. 为了更清晰地表述 **Paillier** 加密算法, 我们需要下列引理作为铺垫:

引理 2.19. 对于正整数 $n \geq 2$, 记

$$\mathcal{S}_n := \{nk + 1 \pmod{n^2} \mid k \in \mathbb{Z}\} \subseteq \mathbb{Z}_{n^2}^*, \quad (2.57)$$

则 \mathcal{S}_n 是乘法群 $\mathbb{Z}_{n^2}^*$ 的子群, 并且映射

$$L: \mathcal{S}_n \rightarrow \mathbb{Z}_n, \quad x \mapsto \frac{x-1}{n} \quad (2.58)$$

是乘法群 \mathcal{S}_n 与加法群 \mathbb{Z}_n 的同构.

引理 2.20. 对于正整数 $n \geq 2$, 则映射

$$\begin{aligned} \mathbb{Z}_n^* &\rightarrow \mathbb{Z}_{n^2}^* \\ r &\mapsto r^n \end{aligned} \quad (2.59)$$

良定, 且为乘法群 \mathbb{Z}_n^* 与 $\mathbb{Z}_{n^2}^*$ 的同态.

证明. 都容易验证, 留给读者练习. □

现在开始介绍 Paillier 加密算法. 取定两个不同的素数 p, q , 记

$$n := pq, \quad (2.60)$$

$$\lambda := \text{l.c.m.}(p-1, q-1), \quad (2.61)$$

即 λ 是 $p-1$ 与 $q-1$ 的最小公倍数. 易知 λ 是乘法群 $\mathbb{Z}_n^* \cong \mathbb{Z}_p^* \times \mathbb{Z}_q^*$ 中元素的最大阶数, 从而对任意 $r \in \mathbb{Z}_n^*$, 都有 $r^\lambda \equiv 1 \pmod n$. 进而容易验证

$$\forall c \in \mathbb{Z}_{n^2}^*, \quad c^\lambda \in \mathcal{S}_n, \quad (2.62)$$

其中乘法群 \mathcal{S}_n 的定义见(2.57).

定义 2.21. 沿用上文记号, 对于 $g \in \mathbb{Z}_{n^2}^*$, 如果 $L(g^\lambda) \in \mathbb{Z}_n^*$, 其中群同构 L 的定义见(2.58)式, 则称 g 为 n 的一个 **Paillier** 生成元, 此时记 $L(g^\lambda)$ 的乘法逆元

$$\mu := L(g^\lambda)^{-1} \in \mathbb{Z}_n^*. \quad (2.63)$$

实际应用中, Paillier 生成元可以按下述方式选取:

例题 2.22.(快速密钥). 记号承上, 如果 n 与 $\phi(n) = (p-1)(q-1)$ 互素, 则 $g := n+1$ 是 n 的一个 Paillier 生成元.

证明. 这是因为, 若 $g \equiv n+1 \pmod{n^2}$, 则二项式定理展开易得

$$g^\lambda \equiv (n+1)^\lambda \equiv 1 + n\lambda \pmod{n^2},$$

从而 $L(g^\lambda) \equiv \lambda \pmod n$. 由初等数论易验证在题设条件下 λ 与 n 互素, 故 $L(g^\lambda) \in \mathbb{Z}_n^*$, 从而 g 为 n 的一个 Paillier 生成元. \square

Paillier 加密算法的基本资料如下:

给定 $n = pq$, 取定 Paillier 生成元 $g \in \mathbb{Z}_{n^2}^*$, 记

- 明文空间: $\{0, 1, 2, \dots, n-1\} \subseteq \mathbb{Z}$.
- 密文空间: $\mathbb{Z}_{n^2}^*$.
- 公钥: (n, g) .
- 私钥: (λ, μ) .

其中 λ, μ 的定义见(2.61),(2.63)式.

定义加密映射 \mathcal{E} 与解密映射 \mathcal{D} 如下:

$$\begin{aligned} \mathcal{E}: \mathbb{Z} \times \mathbb{Z}_n^* &\rightarrow \mathbb{Z}_{n^2}^* \\ (m, r) &\mapsto g^m \cdot r^n, \end{aligned} \quad (2.64)$$

$$\begin{aligned} \mathcal{D}: \mathbb{Z}_{n^2}^* &\rightarrow \mathbb{Z}_n \\ c &\mapsto \mu \cdot L(c^\lambda). \end{aligned} \quad (2.65)$$

映射 \mathcal{E} 与 \mathcal{D} 的良好性分别由引理2.20与(2.62)式所保证. 显然 \mathcal{E} 与 \mathcal{D} 都是群同态.

Paillier 算法加密, 解密的原理如下:

性质 2.23. 记号同上, 则有如下群同态交换图:

$$\begin{array}{ccc} \mathbb{Z} \times \mathbb{Z}_n^* & \xrightarrow{\mathcal{E}} & \mathbb{Z}_{n^2}^* \\ & \searrow \pi & \downarrow \mathcal{D} \\ & & \mathbb{Z}_n \end{array}, \quad (2.66)$$

其中投影映射 $\pi: (m, r) \mapsto m \bmod n$.

证明. 对任意 $m \in \mathbb{Z}$ 以及 $r \in \mathbb{Z}_n^*$, 我们有

$$\begin{aligned}
 \mathcal{D}(\mathcal{E}(m, r)) &= \mathcal{D}(g^m \cdot r^n) = \mu \cdot L((g^m \cdot r^n)^\lambda) \\
 &= \mu \cdot L((g^\lambda)^m \cdot (r^\lambda)^n) \\
 &= \mu \cdot L((g^\lambda)^m) && (\text{注意 } r^\lambda \equiv 1 \pmod{n}) \\
 &= \mu \cdot mL(g^\lambda) && (\text{注意 } L \text{ 是群同态}) \\
 &= m \pmod{n}, && (\text{由 } \mu \text{ 的定义})
 \end{aligned}$$

从而得证. □

综上所述, 我们将 Paillier 加密算法总结如下:

算法 2.24. (Paillier 加密算法) 给定公钥 (n, g) 与私钥 (λ, μ) .

- **加密:** 对于明文 $m \in \{0, 1, 2, \dots, n-1\} \subseteq \mathbb{Z}$, 随机选取 $r \in \mathbb{Z}_n^*$, 得到密文 $c = \mathcal{E}(m, r)$.
- **解密:** 对于密文 $c \in \mathbb{Z}_{n^2}^*$, 则 $\mathcal{D}(c)$ 为明文所在的模 n 剩余类.

注记 2.25. Paillier 加密算法的安全性:

1. 私钥 (λ, μ) 的私密性依赖于大素因数分解的困难性.
2. 关于暴力破解: 若密文 c 所对应的明文为 m , 则 $cg^{-m} \in \mathbb{Z}_{n^2}^*$ 是 n 次剩余 (即为 $\mathbb{Z}_{n^2}^*$ 中的某个元素的 n 次幂); 而对于合数 n , 判断 $\mathbb{Z}_{n^2}^*$ 中的元素是否为 n 次剩余是非常困难的, 目前为止没有多项式时间的算法可以攻破.

3. 初等概率论

3.1 重积分与几何概型

3.1.1 线段长度的期望

考虑如下问题:

习题 3.1. 在边长为 1 的正方形内独立、随机取两个点 A, B , 求线段 AB 长度的期望.

不妨该正方形区域为 $[0, 1]^2 = \{(x, y) \mid x, y \in [0, 1]\}$, 记点 A, B 的坐标分别是 $(x_1, y_1), (x_2, y_2)$, 则 x_1, x_2, y_1, y_2 是相互独立的随机变量, 且都服从 $[0, 1]$ 上的均匀分布. 注意线段 AB 的长度 L 满足

$$L = \sqrt{(x_2 - x_1)^2 + (y_2 - y_1)^2},$$

从而直接计算得

$$\begin{aligned}\mathbb{E}[L] &= \int_{[0,1]^4} \sqrt{(x_2 - x_1)^2 + (y_2 - y_1)^2} \, dx_1 dx_2 dy_1 dy_2 \\&= 4 \int_{[0,1]^2} \sqrt{u^2 + v^2} \, du dv \int_0^{1-u} dx_1 \int_0^{1-v} dy_1 \\&\quad (\text{换元 } u := x_2 - x_1, v := y_2 - y_1, \text{ 并用对称性、调整积分次序}) \\&= 4 \int_0^1 (1-u) \, du \int_0^{1-u} (1-v) \sqrt{u^2 + v^2} \, dv \\&= 4 \int_0^1 (1-u) \left(\frac{\sqrt{1+u^2}}{6} - \frac{u^2 \sqrt{1+u^2}}{3} + \frac{u^3}{3} + \frac{u^2}{2} \ln \frac{1 + \sqrt{1+u^2}}{u} \right) du \\&= \frac{2 + \sqrt{2}}{15} + \frac{\ln(1 + \sqrt{2})}{3} \approx 0.521045.\end{aligned}$$

上述计算的中间过程较复杂, 留给读者练习.

3.1.2 高维球的体积

杨昊同学提供了一道好玩的题目:

习题 3.2. 曲豆豆扔飞镖. 假设曲豆豆扔出的飞镖总是落在平面上某个边长为 2 的正方形区域 $S = [-1, 1]^2$ 中, 飞镖落点在 S 中均匀分布, 且各次扔飞镖的落点相互独立. 考虑如下游戏: 首先记 C_1 为以正方形区域 S 的中心 O 为圆心, 半径为 1 的圆.

- 曲豆豆第 1 次扔飞镖, 记飞镖落点为 P_1 .
- 如果 P_1 在圆 C_1 外部, 则游戏结束; 否则过点 P_1 作线段 OP_1 的垂线 ℓ_1 , 并以 O 为圆心, 以直线 ℓ_1 截圆 C_1 的弦长的一半为半径作圆, 该圆记作 C_2 , 然后游戏继续, 曲豆豆准备第 2 次扔飞镖.
- 一般地, 当曲豆豆第 n 次扔飞镖时, 记飞镖落点为 P_n .
- 如果 P_n 在圆 C_n 外部, 则游戏结束; 否则过点 P_n 作线段 OP_n 的垂线 ℓ_n , 并以 O 为圆心, 以直线 ℓ_n 截圆 C_n 的弦长的一半为半径作圆, 该圆记作 C_{n+1} , 然后游戏继续, 曲豆豆准备第 $(n+1)$ 次扔飞镖.

当游戏结束时, 记 N 为曲豆豆扔飞镖的总次数, 求 N 的分布列与期望.

在正式计算求解之前, 先交代更多的记号. 记圆 C_n 的半径为 R_n , 落点 P_n 的坐标为 (x_n, y_n) , 其中 x_n, y_n 视为随机变量, 它们相互独立且服从 $[-1, 1]$ 上的均匀分布. 容易验证 $\{R_n\}$ 满足如下递推关系:

$$R_1 = 1, \quad R_{n+1} = \sqrt{R_n^2 - x_n^2 - y_n^2} \quad (n \geq 1). \quad (3.1)$$

这个 R_n 可以称为“容许半径”: 只有当第 n 个飞镖落在半径 R_n 范围内时, 游戏才能继续. 注意随着投掷次数 n 的增大, R_n 在不断地变小, 从

而游戏越来越难以继续; 如果飞镖落点离中心点 O 越近, 则 $\{R_n\}$ 减小得越慢; 曲豆豆为了能多玩几局这种飞镖, 应当每次都尽可能让飞镖落点接近中心点 O .

解. 记号承上, 对于每个正整数 n , 先计算 $\mathbb{P}(N \geq n)$, 即曲豆豆至少扔了 n 次飞镖的概率. 注意曲豆豆一开始总是会扔 1 次, 从而 $\mathbb{P}(N \geq 1) = 1$. 而当 $n \geq 2$ 时, 由递推关系(3.1)易知, $N \geq n$ 当且仅当

$$x_1^2 + y_1^2 + x_2^2 + y_2^2 + \cdots + x_{n-1}^2 + y_{n-1}^2 < 1.$$

(即, 只有当前 $(n-1)$ 次表现“都挺好”时, 曲豆豆才能有机会扔第 n 次). 于是

$$\begin{aligned} \mathbb{P}(N \geq n) &= \frac{\int_{x_1^2+y_1^2+\cdots+x_{n-1}^2+y_{n-1}^2<1} dx_1 dy_1 \cdots dx_{n-1} dy_{n-1}}{\int_{[-1,1]^{n-1}} dx_1 dy_1 \cdots dx_{n-1} dy_{n-1}} \\ &= \frac{1}{4^{n-1}} \int_{x_1^2+y_1^2+\cdots+x_{n-1}^2+y_{n-1}^2<1} dx_1 dy_1 \cdots dx_{n-1} dy_{n-1}. \end{aligned}$$

从而对于 $n \geq 1$,

$$\mathbb{P}(N \geq n+1) = \frac{1}{4^n} \int_{x_1^2+y_1^2+\cdots+x_n^2+y_n^2<1} dx_1 dy_1 \cdots dx_n dy_n = \frac{1}{4^n} \text{Vol}(\mathbb{B}^{2n}),$$

其中 \mathbb{B}^{2n} 是 $2n$ 维欧氏空间 \mathbb{R}^{2n} 中的单位球, $\text{Vol}(\mathbb{B}^{2n})$ 为该球的体积. 虽然高维球体体积公式众所周知, 但高中生一般来说可能没有听说过. 不如在此重新推导一遍, 这里只需要考虑偶数维球体的情形.

$$\begin{aligned} \text{Vol}(\mathbb{B}^{2n}) &= \int_{x_1^2+y_1^2+\cdots+x_n^2+y_n^2<1} dx_1 dy_1 \cdots dx_n dy_n \\ &= \int_{x_n^2+y_n^2<1} dx_n dy_n \\ &\quad \times \int_{x_1^2+y_1^2+\cdots+x_{n-1}^2+y_{n-1}^2<1-x_n^2-y_n^2} dx_1 dy_1 \cdots dx_{n-1} dy_{n-1} \end{aligned}$$

$$\begin{aligned}
&= \int_{x_n^2 + y_n^2 < 1} (1 - x_n^2 - y_n^2)^{n-1} \text{Vol}(\mathbb{B}^{2n-2}) dx_n dy_n \\
&= \text{Vol}(\mathbb{B}^{2n-2}) \cdot \int_0^{2\pi} d\theta \int_0^1 r(1 - r^2)^{n-1} dr \\
&= \frac{\pi}{n} \text{Vol}(\mathbb{B}^{2n-2}).
\end{aligned}$$

再注意首项 $\text{Vol}(\mathbb{B}^2) = \pi$, 从而易知

$$\text{Vol}(\mathbb{B}^{2n}) = \frac{\pi^n}{n!},$$

此乃 $2n$ 维单位球体的体积公式. 因此曲豆豆至少扔 $n+1$ 次飞镖的概率 $\mathbb{P}(N \geq n+1) = \frac{(\pi/4)^n}{n!}$, 进而随机变量 N 的分布列如下: 对于 $n \geq 1$,

$$\mathbb{P}(N = n) = \mathbb{P}(N \geq n) - \mathbb{P}(N \geq n+1) = \frac{(\pi/4)^{n-1}}{(n-1)!} - \frac{(\pi/4)^n}{n!}.$$

通过上述分布列直接计算可知, N 的期望

$$\begin{aligned}
\mathbb{E}[N] &= \sum_{n=1}^{\infty} n \mathbb{P}(N = n) = \sum_{n=1}^{\infty} \left(\frac{nx^{n-1}}{(n-1)!} - \frac{nx^n}{n!} \right) \Big|_{x=\frac{\pi}{4}} \\
&= \left(\frac{d}{dx}(xe^x) - xe^x \right) \Big|_{x=\frac{\pi}{4}} = e^{\frac{\pi}{4}}.
\end{aligned}$$

□

注记 3.3. 注意上题中的概率 $\mathbb{P}(N \geq n+1) = \frac{1}{4^n} \text{Vol}(\mathbb{B}^{2n})$ 其实是 $2n$ 维单位球的体积与该球的“外切立方体”的体积之比. 该比值为 $\frac{(\pi/4)^n}{n!}$, 随 n 的增大而迅速趋于零.

接下来考虑此题的一个变种.

变式 3.4. 游戏规则与例题 3.2 完全相同, 但是曲豆豆经过一段时间练习, 镖法更精准, 飞镖的落点不再是在正方形区域 $S = [-1, 1]^2$ 均匀分布了,

而是在正方形 S 的内切圆 C_1 内均匀分布. 记 N 为曲豆豆扔飞镖的总次数, 求 N 的分布列与期望.

注意此时的曲豆豆第一次扔飞镖时一定把飞镖扔进圆 C_1 内, 从而游戏一定会继续, $\mathbb{P}(N \geq 2) = 1$. 此外曲豆豆的飞镖落点比之前更倾向于接近圆心, 从而游戏持续轮数应该会比之前更多.

解. 记号与方法类似, 易知对任意 $n \geq 1$,

$$\mathbb{P}(N \geq n+1) = \frac{\text{Vol}(\mathbb{B}^{2n})}{\text{Vol}(\mathbb{B}^2)^n} = \frac{\pi^n/n!}{\pi^n} = \frac{1}{n!},$$

从而 $\mathbb{P}(N = n) = \frac{1}{(n-1)!} - \frac{1}{n!}$ ($n \geq 1$), 且

$$\begin{aligned}\mathbb{E}[N] &= \sum_{n=1}^{\infty} n \mathbb{P}(N = n) = \sum_{n=1}^{\infty} n \left(\frac{1}{(n-1)!} - \frac{1}{n!} \right) \\ &= \sum_{n=0}^{\infty} \frac{n+1}{n!} - \sum_{n=1}^{\infty} \frac{n}{n!} = \sum_{n=0}^{\infty} \frac{1}{n!} = e.\end{aligned}$$

□

3.2 De Moivre-Laplace 定理与正态分布

将二项分布取某种极限可得到所谓正态分布, 这是一个十分重要的概率分布, 这里介绍其推导过程. 记 X_1, X_2, X_3, \dots 是一列独立同分布的随机变量, 且服从参数为 p 的两点分布: $\mathbb{P}(X_k = 1) = p$, $\mathbb{P}(X_k = 0) = q$, 其中 $p \in (0, 1)$, $q = 1 - p$. 则众所周知, 对每个正整数 n , 随机变量

$$S_n := X_1 + X_2 + \cdots + X_n$$

服从参数为 n, p 的二项分布, 即 $\mathbb{P}(S_n = k) = \binom{n}{k} p^k q^{n-k}$. 而二项分布的期望与方差为

$$\mathbb{E}[S_n] = np, \quad \text{Var}(S_n) = npq.$$

适当将 S_n 作伸缩、平移变换, 引入随机变量

$$Z_n := \frac{S_n - np}{\sqrt{npq}}, \quad (3.2)$$

则 Z_n 的期望与方差分别为 0, 1. 事实上, 当 $n \rightarrow +\infty$ 时, 上述随机变量 Z_n 将趋近于标准正态分布, 见如下定理:

定理 3.5. (De Moivre-Laplace). 记号承上, 则对任意实数 $\alpha < \beta$ 都成立

$$\lim_{n \rightarrow \infty} \mathbb{P}(\alpha < Z_n \leq \beta) = \frac{1}{\sqrt{2\pi}} \int_{\alpha}^{\beta} e^{-\frac{x^2}{2}} dx, \quad (3.3)$$

从而随机变量 $\{Z_n\}$ 依分布收敛于标准正态分布 $\Phi(x) = \frac{1}{\sqrt{2\pi}} e^{-\frac{x^2}{2}}$.

证明. 直接计算得

$$\begin{aligned} \mathbb{P}(\alpha < Z_n \leq \beta) &= \mathbb{P}(\alpha\sqrt{npq} + np < S_n \leq \beta\sqrt{npq} + np) \\ &= \sum_{k \in I_{n;\alpha,\beta}} \mathbb{P}(S_n = k), \end{aligned} \quad (3.4)$$

其中

$$I_{n;\alpha,\beta} := (\alpha\sqrt{npq} + np, \beta\sqrt{npq} + np] \cap \mathbb{Z}.$$

对于每个 $k \in I_{n;\alpha,\beta}$, 记 $x := \frac{k-np}{\sqrt{npq}}$, 则 $x \in (\alpha, \beta]$. 注意 x 不仅与 k 有关, 而且与 n 有关. 易知

$$\begin{aligned} k &= np + x\sqrt{npq}, \\ n - k &= nq - x\sqrt{npq}, \end{aligned} \quad (3.5)$$

从而当 $n \rightarrow +\infty$ 时, k 与 $(n - k)$ 也趋于无穷 (关于 $x \in (\alpha, \beta]$ 一致). 从而对 $n, k, (n - k)$ 使用 **Stirling 公式**

$$n! = \sqrt{2\pi n} \left(\frac{n}{e}\right)^n (1 + o(1)), \quad n \rightarrow \infty$$

可知当 $n \rightarrow \infty$ 时

$$\begin{aligned}\mathbb{P}(S_n = k) &= \frac{n!}{k!(n-k)!} p^k q^{n-k} \\ &= \left(\frac{n}{2\pi k(n-k)} \right)^{\frac{1}{2}} \left(\frac{np}{k} \right)^k \left(\frac{nq}{n-k} \right)^{n-k} (1 + o(1)).\end{aligned}\quad (3.6)$$

而由(3.5)式, 可知当 $n \rightarrow \infty$ 时

$$\begin{aligned}\frac{n}{2\pi k(n-k)} &= \frac{n}{2\pi (np + x\sqrt{npq})(nq - x\sqrt{npq})} \\ &= \frac{1}{2\pi npq} (1 + o(1)).\end{aligned}\quad (3.7)$$

然后再注意到

$$\begin{aligned}& \ln \left[\left(\frac{np}{k} \right)^k \left(\frac{nq}{n-k} \right)^{n-k} \right] \\ &= - \left(np + x\sqrt{pq} \cdot n^{\frac{1}{2}} \right) \ln \left(1 + x\sqrt{\frac{q}{p}} \cdot n^{-\frac{1}{2}} \right) \\ & \quad - \left(nq - x\sqrt{pq} \cdot n^{\frac{1}{2}} \right) \ln \left(1 - x\sqrt{\frac{p}{q}} \cdot n^{-\frac{1}{2}} \right) \\ &= - \left(np + x\sqrt{pq} \cdot n^{\frac{1}{2}} \right) \left(x\sqrt{\frac{q}{p}} \cdot n^{-\frac{1}{2}} - \frac{qx^2}{2p} \cdot \frac{1}{n} + o\left(\frac{1}{n}\right) \right) \\ & \quad - \left(nq - x\sqrt{pq} \cdot n^{\frac{1}{2}} \right) \left(-x\sqrt{\frac{p}{q}} \cdot n^{-\frac{1}{2}} - \frac{px^2}{2q} \cdot \frac{1}{n} + o\left(\frac{1}{n}\right) \right) \\ &= \left(-x\sqrt{pq} \cdot n^{\frac{1}{2}} - \frac{1}{2}qx^2 + o(1) \right) + \left(x\sqrt{pq} \cdot n^{\frac{1}{2}} - \frac{1}{2}px^2 + o(1) \right) \\ &= -\frac{1}{2}x^2 + o(1),\end{aligned}$$

从而当 $n \rightarrow \infty$ 时,

$$\left(\frac{np}{k} \right)^k \left(\frac{nq}{n-k} \right)^{n-k} = e^{-\frac{1}{2}x^2} (1 + o(1)). \quad (3.8)$$

将(3.7)(3.8)式代入(3.6)可知当 $n \rightarrow \infty$ 时

$$\mathbb{P}(S_n = k) = \frac{1}{\sqrt{2\pi npq}} e^{-\frac{1}{2}x^2} (1 + o(1))$$

关于 $x \in (\alpha, \beta]$ 一致. 因此

$$\begin{aligned} \lim_{n \rightarrow \infty} \mathbb{P}(\alpha < Z_n \leq \beta) &= \lim_{n \rightarrow \infty} \sum_{k \in I_{n; \alpha, \beta}} \mathbb{P}(S_n = k) \\ &= \lim_{n \rightarrow \infty} \sum_{x \in (\alpha, \beta] \cap \frac{1}{\sqrt{npq}} \mathbb{Z}} \frac{1}{\sqrt{2\pi npq}} e^{-\frac{x^2}{2}} (1 + o(1)) = \frac{1}{\sqrt{2\pi}} \int_{\alpha}^{\beta} e^{-\frac{x^2}{2}} dx. \end{aligned}$$

□

3.3 两正整数互素的概率

考虑如下“问题”:

独立地随机取两个正整数, 取到的两个数互素的概率是多少?

然而, “随机取正整数”的操作在概率论中不可能实现. 这是因为, 如果每个正整数 k 都能取到, 并且被取到的概率都相等, 都为 $r > 0$, 则概率的可数可加性导致

$$1 = \sum_{k=1}^{\infty} \mathbb{P}(\text{取到 } k) = \sum_{k=1}^{\infty} r = +\infty,$$

矛盾. 不过, 此“问题”的下述“伪解”具有启发性:

伪解. 设所有素数从小到大依次是

$$p_1 < p_2 < p_3 < \cdots. \quad (3.9)$$

现在设 a, b 是随机选取的正整数. 如果 a, b 互素, 那么对任意 k , p_k 不是 a, b 的公因数. 由于 a 随机选取, 所以 a 模 p_k 的余数服从 $\{0, 1, 2, \dots, p_k - 1\}$ 上的均匀分布, 特别地, a 能被 p_k 整除的概率为 $\frac{1}{p_k}$. 同样, b 能被 p_k 整除的概率也是 $\frac{1}{p_k}$. 再注意 a, b 相互独立, 因此

$$\mathbb{P}(p_k \text{ 不是 } a, b \text{ 的公因数}) = 1 - \frac{1}{p_k^2},$$

于是

$$\mathbb{P}(a, b \text{ 互素}) = \prod_{k=1}^{\infty} \left(1 - \frac{1}{p_k^2}\right).$$

最后, 再由众所周知的恒等式

$$\begin{aligned} \prod_{k=1}^{\infty} \left(1 - \frac{1}{p_k^2}\right) &= \left(\prod_{k=1}^{\infty} \left(1 + \frac{1}{p_k^2} + \frac{1}{p_k^4} + \dots\right)\right)^{-1} \\ &= \left(\sum_{n=1}^{\infty} \frac{1}{n^2}\right)^{-1} = \frac{6}{\pi^2} \end{aligned} \quad (3.10)$$

可知 a, b 互素的概率是 $\frac{6}{\pi^2}$. □

当然不会仅仅到此为止. 我们希望将此问题的表述以及解答过程严格化, 使之成为真正的数学. 关键在于修改“随机取正整数”的说法. 为此, 我们退而求其次, 先固定一个正整数 n , 在集合

$$[n] := \{1, 2, 3, \dots, n\} \quad (3.11)$$

中随机取元素, 使得取到每个元素的概率都是 $\frac{1}{n}$; 则

$$\mathbb{P}_n := \frac{\#\{(a, b) \in [n]^2 \mid \gcd(a, b) = 1\}}{n^2}$$

是事件“在 $[n]$ 中有放回地依次抽取两个数 a, b , 使得 a, b 互素”的概率. 这里的 $\#X$ 是指有限集合 X 的元素个数. 然后考虑 \mathbb{P}_n 在 $n \rightarrow +\infty$ 时的极限, 将“随机取两正整数, 取到的两个数互素”的概率解释为 $\lim_{n \rightarrow +\infty} \mathbb{P}_n$.

定理 3.6. 以下等式成立:

$$\lim_{n \rightarrow +\infty} \frac{\#\{(a, b) \in [n]^2 \mid \gcd(a, b) = 1\}}{n^2} = \frac{6}{\pi^2}. \quad (3.12)$$

证明. 沿用(3.9)式的记号. 对每个正整数 k , 中国剩余定理

$$\mathbb{Z}/(p_1 p_2 \cdots p_k \mathbb{Z}) \cong (\mathbb{Z}/p_1 \mathbb{Z}) \times (\mathbb{Z}/p_2 \mathbb{Z}) \times \cdots \times (\mathbb{Z}/p_k \mathbb{Z})$$

表明, 从 $[p_1 p_2 \cdots p_k]$ 中任取正整数 a , 将 a 模 p_i, p_j ($i \neq j$) 的余数分别视为两个随机变量, 则这两个随机变量独立.

一方面, 任意取定正整数 $k, M_0 \in \mathbb{N}^*$, 记 $n_k := p_1 p_2 \cdots p_k$. 对任意 $n > M_0 n_k$, 考虑带余除法

$$n = M n_k + r_k, \quad (3.13)$$

其中正整数 $M \geq M_0$, 余数 $0 < r_k < n_k$, 则

$$\begin{aligned} & \#\{(a, b) \in [n]^2 \mid \gcd(a, b) = 1\} \\ & \geq \#\{(a, b) \in [M n_k]^2 \mid \gcd(a, b) = 1\} \\ & \geq \#\{(a, b) \in [M n_k]^2 \mid \forall i = 1, \dots, k, p_i \nmid \gcd(a, b)\} \\ & \quad - \sum_{m \geq k+1} \#\{(a, b) \in [M n_k]^2 \mid p_m \mid a \text{ 且 } p_m \mid b\} \\ & = (M n_k)^2 \prod_{i=1}^k \left(1 - \frac{1}{p_i^2}\right) - \sum_{m \geq k+1} \left\lfloor \frac{M n_k}{p_m} \right\rfloor^2 \end{aligned}$$

$$\geq (Mn_k)^2 \left(\prod_{i=1}^k \left(1 - \frac{1}{p_i^2} \right) - \sum_{m \geq k+1} \frac{1}{p_m^2} \right).$$

所以

$$\begin{aligned} \mathbb{P}_n &= \frac{\#\{(a, b) \in [n]^2 \mid \gcd(a, b) = 1\}}{n^2} \\ &\geq \left(\prod_{i=1}^k \left(1 - \frac{1}{p_i^2} \right) - \sum_{m \geq k+1} \frac{1}{p_m^2} \right) \left(\frac{Mn_k}{n} \right)^2 \\ &\geq \left(\prod_{i=1}^k \left(1 - \frac{1}{p_i^2} \right) - \sum_{m \geq k+1} \frac{1}{p_m^2} \right) \left(1 - \frac{1}{M_0 + 1} \right)^2. \end{aligned}$$

令 $n \rightarrow +\infty$, 可知对任意正整数 k, M_0 都成立

$$\liminf_{n \rightarrow +\infty} \mathbb{P}_n \geq \left(\prod_{i=1}^k \left(1 - \frac{1}{p_i^2} \right) - \sum_{m \geq k+1} \frac{1}{p_m^2} \right) \left(1 - \frac{1}{M_0 + 1} \right)^2,$$

再依次令 $M_0 \rightarrow +\infty, k \rightarrow +\infty$, 可得

$$\liminf_{n \rightarrow +\infty} \mathbb{P}_n \geq \prod_{i=1}^{\infty} \left(1 - \frac{1}{p_i^2} \right) = \frac{6}{\pi^2}.$$

另一方面, 当 $n > M_0 n_k$ 时, 沿用(3.13)式, 有

$$\begin{aligned} &\#\{(a, b) \in [n]^2 \mid \gcd(a, b) = 1\} \\ &\leq \#\{(a, b) \in [n]^2 \mid \forall i = 1, \dots, k, p_i \nmid \gcd(a, b)\} \\ &\leq \#\{(a, b) \in [Mn_k]^2 \mid \forall i = 1, \dots, k, p_i \nmid \gcd(a, b)\} + (n^2 - (Mn_k)^2) \\ &\leq n^2 \prod_{i=1}^k \left(1 - \frac{1}{p_i^2} \right) + \frac{2n^2}{M_0}, \end{aligned}$$

令 $n \rightarrow +\infty$, 可知对任意正整数 k, M_0 都有

$$\limsup_{n \rightarrow +\infty} \mathbb{P}_n \leq \prod_{i=1}^k \left(1 - \frac{1}{p_i^2}\right) + \frac{2}{M_0},$$

再依次令 $M_0 \rightarrow +\infty, k \rightarrow +\infty$, 可得

$$\limsup_{n \rightarrow +\infty} \mathbb{P}_n \leq \prod_{i=1}^{\infty} \left(1 - \frac{1}{p_i^2}\right) = \frac{6}{\pi^2}.$$

综上可得 $\lim_{n \rightarrow +\infty} \mathbb{P}_n = \frac{6}{\pi^2}$, 得证. □

3.4 财务管理: Miller-Orr 模型

3.4.1 引言

笔者的一个女性朋友最近在备考注册会计师 CPA, 她在学的过程中遇到了一个看上去很复杂的所谓“现金返回线公式”, 这个公式在国内的会计应试辅导书里通常长这个妖冶邪异的样子:

$$R = \sqrt[3]{\frac{3b\delta^2}{4i}} + L. \quad (3.14)$$

按道理说, 财务会计那些东西也就是加减乘除, 但这公式里居然出现三次根号 $\sqrt[3]{}$, 这确实有些诡异, 其中必有魔法. 那位女性朋友被这个三次根号 $\sqrt[3]{}$ 吓到之后就找到笔者, 想听听笔者的见解.

笔者虽然是数学专业, 但额外技能点全都加到了物理 (以及卖萌) 上, 对财务、会计、金融那些东西一窍不通, 更是听不懂她满嘴的财务术语. 可是笔者对公式中的三次根号 $\sqrt[3]{}$ 突然产生了强烈的好奇, 并认为这或许是破除笔者对财务会计类专业“也就会加减乘除”的偏见的绝佳机会, 于是笔者决定查阅相关资料, 企图搞清楚这个公式.

首先, 百度查不出任何有营养的信息; 而通过查阅知乎, 笔者得知这是财务管理的“**Miller-Orr 模型**”。但关于 Miller-Orr 模型的详细推导, 尤其是为什么会出现三次根号 $\sqrt[3]{}$, 笔者在中文互联网上查不到任何有价值的免费公开资料 (或许是因为笔者的中文资料查阅能力、中文阅读理解能力有限)。于是笔者只好去墙外某著名学术平台反复查阅, 直到找到原始文献

Miller M H, Orr D. *A model of the demand for money by firms*
[J]. The Quarterly journal of economics, 1966, 80(3): 413-435.

果然, 那妖冶邪异的公式还真就是从这篇文章里冒出来的。

以下是笔者在阅读原始文献的基础上对这个所谓“Miller-Orr 模型”所产生的一些个人理解 (在数学细节处理方面与原文略有出入)。但由于笔者完全不熟悉财务会计专业知识, 在有关专业术语的表达方面可能会显得十分幼稚且业余, 甚至会不小心夹杂粗鄙之语。

3.4.2 故事背景

公式并不是从天而降的, 它一定有故事背景。事实上, 故事可以是这样的: 有一个“油泰”商人曲豆豆, 他开了一家投机倒把的金融公司。这家油泰公司大概是这样运作的:

1. 公司的资产分为两部分: **证券与现金**。前者可以粗俗地认为是银行存款或者别的什么投资, 可以“钱生钱、利滚利”; 而后者就是手里的现金。
2. 证券与现金这两类资产可以相互转换。可以在任意时刻将任意数量的证券卖出换成现金, 或者在任意时刻用任意数量的现金来买证券; 无论是用现金买证券还是卖证券得现金, 每一次交易都是瞬间完成。

3. 证券类资产收益稳定, 单位时间的利率 (例如, 日利率) 始终为 ν .
4. 投机倒把的油泰商人曲豆豆当然更喜欢证券资产, 毕竟有利息可以赚. 逐利的曲豆豆认为吃利息是理所当然的, 而没有吃到利息就是亏了; 故持有现金越多, 曲豆豆感觉亏得就越多——这就是所谓**机会成本**. 假设公司有现金资产 W , 如果这些现金都换成证券, 那单位时间就能收获 νW 的利息; 而曲豆豆实际上并没有吃到这想象中 νW 的利息. 换言之, 单位时间的机会成本为 νW .
5. 证券与现金的转换过程中会产生**交易成本**: 每一次交易 (无论是买证券还是卖证券) 都要花费 γ 元的手续费. 注意这里的 γ 是常数, 与每次交易的数额无关.
6. 由于频繁投机倒把, 公司的现金总量 $W(t)$ 每时每刻都随时间 t 变化: 若 t 时刻的现金数量为 $W(t)$, 则经过一段微小的时间 Δt 之后, 现金数量有 $\frac{1}{2}$ 的概率增加 ΔW , 有 $\frac{1}{2}$ 的概率减少 ΔW , 其中 ΔW 是与 Δt 有关的常数. 可见, $t + \Delta t$ 时刻的现金数量是服从两点分布的随机变量. 再假设该随机变量的**方差**与 Δt 成正比, 即

$$\text{Var}(W(t + \Delta t)) = \sigma^2 \Delta t,$$

其中 $\sigma > 0$ 为常数, 表示现金单位时间变化的**标准差**. 容易验证上式等价于

$$\Delta W = \sqrt{\sigma^2 \Delta t}. \quad (3.15)$$

也就是说, 现金数量 $W(t)$ 可以先近似为离散时间 Δt 的对称随机游走. 众所周知, 这个随机过程在 $\Delta t \rightarrow 0$ 时会趋于**布朗运动** (也叫 **Wiener 过程**): 若 $t = 0$ 时刻的现金数量为 x , 则 t 时刻现金数量 $W(t)$ 的概率密度函数为

$$f_{W(t)}(y) = \frac{1}{\sqrt{2\pi\sigma^2 t}} e^{-\frac{(y-x)^2}{2\sigma^2 t}}.$$

事实上, 布朗运动才是描述现金数量随机变化的真正数学模型; 而我们在接下来的数学处理中, 采取离散时间对称随机游走来逼近布朗运动.

作为这家油泰公司的高层, 曲豆豆需要管理公司的现金资产:

- 现金资产不能太多, 否则会增加**机会成本**.
- 现金资产绝对不能低于某个下限, 否则公司有倒闭的危险. 这里不妨假定**现金资产的下限**为 0, 换言之, 曲豆豆必须保证现金资产始终大于 0.
- 所以, 一个朴素的想法是, 当现金资产很多的时候, 曲豆豆就应该用适量的现金来购买证券; 而当现金资产为 0 时, 曲豆豆就要立刻卖掉一些证券.
- 但是买卖证券也不能太过频繁, 否则会增加**交易成本**.
- 总之, 曲豆豆需要综合考虑机会成本与交易成本, 设计一个最优的现金资产管理方案, 使单位时间内的现金管理总成本最小化.

3.4.3 数学模型建立

按某些商业习俗, 这家油泰公司采用如下的现金资产管理方案:

1. 取定实数

$$0 < r < h, \quad (3.16)$$

其中 h 被称为**现金资产的上限**, 而 r 被称为**现金返回线**.

2. 记该公司在 t 时刻的现金资产为 $W(t)$,

- (a) 如果 $0 < W(t) < h$, 则曲豆豆不做任何买卖证券操作, 任由 $W(t)$ 随机变化;
 - (b) 如果 $W(t) \geq h$, 则曲豆豆立刻买入证券, 使得买入证券后的现金资产为 r ;
 - (c) 如果 $W(t) \leq 0$, 则曲豆豆立刻卖出证券, 使得卖出证券后的现金资产为 r .
3. 在曲豆豆的上述买卖证券操作的干预下, t 时刻的现金资产 $W(t)$ 是随机变量, 其取值范围始终被限制在 $[0, h]$. 随机变量族 $\{W(t)\}_{t \geq 0}$ 构成一个随机过程, 它是布朗运动的某个变种.

我们考察在上述管理策略下的单位时间内的现金管理总成本.

定义 3.7. 对于上文中的随机过程 $W(t)$, 引入如下:

1. 对于 $t > 0$, 记随机变量 $N(t)$ 为时间段 $[0, t]$ 内的证券买卖总次数, 再记

$$\bar{N} := \lim_{t \rightarrow \infty} \frac{\mathbb{E}[N(t)]}{t} \quad (3.17)$$

为单位时间内证券交易的平均次数.

2. 记 \bar{W} 为现金资产的平均值, 即

$$\bar{W} := \lim_{t \rightarrow \infty} \mathbb{E}[W(t)]. \quad (3.18)$$

3. 于是, 单位时间内的现金管理总成本 c 为

$$c := \nu \bar{W} + \gamma \bar{N}, \quad (3.19)$$

其中 $\nu \bar{W}$ 与 $\gamma \bar{N}$ 分别是单位时间内的机会成本与交易成本;
 $\nu, \gamma > 0$ 为常数, 其含义见上一小节.

特别注意, 随机过程 $W(t)$ 与 r, h 的选取有关, 进而单位时间内的现金管理总成本 $c = c(r, h)$ 也是关于 r, h 的函数. 于是, 这家油泰公司高层面临的问题是:

习题 3.8. 适当选取现金资产的上限 h 以及现金返回线 r , 使得单位时间内的现金管理总成本(3.19)最小.

至此, 我们已经完全把这个资产管理问题转化为数学问题. 接下来就该用数学方法来解决此问题了.

3.4.4 机会成本的计算

我们首先来给出机会成本 $\nu\overline{W}$ 的具体表达式, 这就需要我们用 h, r 来表示 \overline{W} . 数学上可以证明, 随着时间 $t \rightarrow \infty$, 随机变量 $W(t)$ 的概率密度函数 $f_{W(t)}(x)$ 会收敛于某个固定的函数 $f_\infty(x)$, 并且 f_∞ 初值 $W(0)$ 无关. 该分布在随机过程中被称为**极限分布**. 此时, 有

$$\overline{W} = \int_0^h x f_\infty(x) dx. \quad (3.20)$$

下面我们来求 $f_\infty(x)$. 按前文所说, 我们用足够小时间间隔的对称随机游走来逼近布朗运动. 取定足够大的正整数 n , 将现金资产的范围区间 $[0, h]$ 等分为 n 份:

$$0 < \frac{h}{n} < \frac{2h}{n} < \dots < \frac{(n-1)h}{n} < h, \quad (3.21)$$

并假设现金资产的数量 $W(t)$ 的取值范围是 $\{\frac{kh}{n} \mid 0 \leq k \leq n, k \in \mathbb{Z}\}$, 并且存在某个整数 $k_0 \in \{1, 2, \dots, n-1\}$, 使得现金返回线 r 满足

$$r = \frac{k_0 h}{n}. \quad (3.22)$$

由前文(3.15), 我们设每经过一个单位时间

$$\Delta t = \frac{h^2}{n^2 \sigma^2}, \quad (3.23)$$

总资产 $W(t)$ 增加或减少 $\Delta W = \frac{h}{n}$. 对于正整数 s , 设从 $t = 0$ 时起经过 s 个单位时间 $s\Delta t$ 后的现金资产数量为 $W_n(s)$, 则有离散时间随机过程 $\{W_n(s)\}_{s=0}^\infty$, 注意它这是**有限状态 Markov 链**. 我们只需先对每个固定的 n 计算出 $\{W_n(s)\}$ 在 $s \rightarrow \infty$ 时的极限分布, 然后再令 $n \rightarrow \infty$ 即可得到 $f_\infty(x)$. 对于整数 $k \in \{0, 1, 2, \dots, n\}$, 记

$$p_{nk} := \lim_{s \rightarrow \infty} \mathbb{P} \left(W_n(s) = \frac{kh}{n} \right), \quad (3.24)$$

则易知数列 $\{p_{nk}\}_{k=0}^n$ 满足如下递推关系:

$$p_{nk} = \frac{1}{2}(p_{n,k-1} + p_{n,k+1}), \quad k \notin \{0, k_0, n\}, \quad (3.25)$$

$$p_{n0} = p_{nn} = 0, \quad (3.26)$$

$$p_{nk_0} = \frac{1}{2}(p_{n,k_0-1} + p_{n,k_0+1} + p_{n1} + p_{n,n-1}), \quad (3.27)$$

以及归一化条件

$$\sum_{k=0}^n p_{nk} = 1. \quad (3.28)$$

上述这些条件足以将数列 $\{p_{nk}\}_{k=0}^n$ 的通项公式强行求出来, 但这里其实没有这个必要.

观察(3.25), 不难发现 $\{p_{n0}, p_{n1}, \dots, p_{nk_0}\}$ 与 $\{p_{nk_0}, p_{n,k_0+1}, \dots, p_{nn}\}$ 都是等差数列. 于是我们相信 (也不难给出严格证明, 但这从略), 当 $n \rightarrow \infty$ 时, 极限分布的概率密度函数 $f_\infty(x)$ 在区间 $(0, r)$ 与 (r, h) 上的限制都是一次函数; 再结合(3.26)(3.27), 我们也相信 $f_\infty(0) = f_\infty(h) = 0$, 并且 $f_\infty(x)$ 在 $x = r$ 处连续. 再注意归一化条件

$$\int_0^h f_\infty(x) dx = 1,$$

不难得到

$$f_\infty(x) = \begin{cases} \frac{2}{hr}x, & x \in [0, r], \\ -\frac{2}{h(h-r)}(x-h), & x \in [r, h]. \end{cases} \quad (3.29)$$

于是由(3.20), 公司现金资产的平均值 \bar{W} 为

$$\begin{aligned} \bar{W} &= \int_0^h x f_\infty(x) dx \\ &= \int_0^r \frac{2}{hr} x^2 dx + \int_r^h -\frac{2}{h(h-r)} x(x-h) dx \end{aligned}$$

$$\begin{aligned}
&= \frac{2}{3hr}r^3 - \frac{2}{h(h-r)} \left(\frac{1}{3}(h^3 - r^3) - \frac{h}{2}(h^2 - r^2) \right) \\
&= \frac{h+r}{3},
\end{aligned}$$

因此单位时间内的**机会成本**

$$\nu \bar{W} = \frac{\nu}{3}(h+r). \quad (3.30)$$

3.4.5 交易成本的计算

下面我们来考察交易成本, 为此需要计算单位时间内证券交易的平均次数 \bar{N} . 若记

$\bar{T} :=$ 相邻两次证券交易的平均时间间隔,

则我们容易相信, \bar{N} 与 \bar{T} 满足关系

$$\bar{N} = (\bar{T})^{-1}. \quad (3.31)$$

上式可以用随机过程的有关理论严格证明, 这里就从略了.

在计算 \bar{T} 之前, 我们回忆现金资产数量 $W(t)$ 的变化过程: 不妨 $t = 0$ 时刻的现金数量为 r , 而 $W(t)$ 随着时间 t 的流逝而随机地变化, 当 $W(t)$ 的值变化到 0 或 h 时, 曲豆豆立刻通过买卖证券将现金数量重新调整为 r , 然后开启下一个“交易周期”, 如此周而复始. 每一个这样的“交易周期”的平均用时就是 \bar{T} .

我们考虑一个更一般的问题: 若初始时刻 $t = 0$ 拥有现金资产 x , 其中 $x \in (0, h)$, 则有随机变量

$$T(x) := \text{现金资产数量到达 } 0 \text{ 或者 } h \text{ 所用的时间}. \quad (3.32)$$

在随机过程理论中, 随机变量 $T(x)$ 是一种**停时** (stopping time). 我们当然不会在这里深究随机过程理论, 毕竟这涉及超出本笔记范围的高等概率论. 不过我们容易看出,

$$\bar{T} = \mathbb{E}[T(r)]. \quad (3.33)$$

为计算 \bar{T} , 我们不如直接把函数 $x \mapsto \mathbb{E}[T(x)]$ 的显式表达式给求出来.

为此, 我们还是用离散时间的对称随机游走来逼近. 依然沿用上一小节的设定(3.21)-(3.23). 对每个 $k \in \{0, 1, 2, \dots, n\}$, 我们记

$$T_{nk} := \text{现金资产数量从 } \frac{kh}{n} \text{ 到 } 0 \text{ 或者 } h \text{ 所用时间}, \quad (3.34)$$

$$t_{nk} := \mathbb{E}[T_{nk}] \quad (3.35)$$

可见数列 $\{T_{nk}\}_{k=1}^n$ 是函数 $T(x)$ 的离散版本.

若初始时刻 $t = 0$ 的现金资产总量为 $\frac{kh}{n}$, 则经过一个单位时间 Δt 之后, 现金资产变为 $\frac{(k-1)h}{n}$ 或者 $\frac{(k+1)h}{n}$; 然后再经过 $t_{n,k-1}$ 或 $t_{n,k+1}$ 的时间, 现金资产变为 0 或 r . 由此我们相信, 数列 $\{t_{nk}\}_{k=0}^n$ 满足递推关系

$$t_{nk} = \Delta t + \frac{1}{2}(t_{n,k-1} + t_{n,k+1}), \quad 1 \leq k \leq n-1, \quad (3.36)$$

其中单位时间 Δt 满足(3.23). 此外 $\{t_{nk}\}$ 显然还要满足边值条件

$$t_{n0} = t_{nn} = 0. \quad (3.37)$$

由(3.36)(3.37)容易求得数列 $\{t_{nk}\}_{k=0}^n$ 的通项

$$t_{nk} = \frac{1}{\sigma^2} \frac{kh}{n} \left(h - \frac{kh}{n} \right), \quad 0 \leq k \leq n.$$

令 $n \rightarrow \infty$, 由上式容易看出

$$\mathbb{E}[T(x)] = \frac{1}{\sigma^2} x(h-x), \quad (3.38)$$

因此交易成本

$$\gamma \bar{N} = \gamma \bar{T}^{-1} = \frac{\gamma}{\mathbb{E}[T(r)]} = \frac{\sigma^2 \gamma}{r(h-r)}. \quad (3.39)$$

3.4.6 最优现金返回线公式的推导

综合机会成本(3.30)与交易成本(3.39), 我们得到:

定理 3.9. 给定现金资产的上限 h 与现金返回线 r , 其中 $0 < r < h$, 则单位时间内的现金管理总成本 c , 见(3.19), 满足

$$c = \frac{\nu}{3}(h+r) + \frac{\sigma^2\gamma}{r(h-r)}, \quad (3.40)$$

其中 $\sigma, \gamma, \nu > 0$ 为常数, 它们分别为

$\sigma :=$ 现金单位时间变化的标准差,

$\gamma :=$ 每次证券交易所产生的交易成本,

$\nu :=$ 证券资产在单位时间的利率.

至此, 我们终于能把习题3.8翻译为纯数学问题:

习题 3.10.(习题3.8的等价表述). 求二元函数

$$c(r, h) = \frac{\nu}{3}(h+r) + \frac{\sigma^2\gamma}{r(h-r)}$$

在 $\{(r, h) \in \mathbb{R}^2 \mid 0 < r < h\}$ 上的最小值, 并求出相应的最小值点. 其中 σ, γ, ν 为大于零的常数.

解. 方便起见, 不如引入新的自变量

$$r' := h - r,$$

将总成本 c 视为关于 r, r' 的函数. 在此意义下

$$c = \frac{\nu}{3}(2r + r') + \frac{\sigma^2\gamma}{rr'}, \quad r, r' > 0. \quad (3.41)$$

若 (r, r') 为函数 c 的最小值点, 则应该有

$$\begin{aligned}\frac{\partial c}{\partial r} &= \frac{2\nu}{3} - \frac{\sigma^2\gamma}{r^2r'} = 0, \\ \frac{\partial c}{\partial r'} &= \frac{\nu}{3} - \frac{\partial\sigma^2\gamma}{\partial r(r')^2} = 0,\end{aligned}$$

从而解得

$$r = \left(\frac{3\sigma^2\gamma}{4\nu} \right)^{\frac{1}{3}}, \quad (3.42)$$

$$r' = 2r. \quad (3.43)$$

容易验证上述 (r, r') 确实是 c 的最小值点, 并且相应的最小值为

$$c_{\min} = (6\nu^2\sigma^2\gamma)^{\frac{1}{3}}.$$

□

注记 3.11. (3.42) 正是出现在 CPA 应试教材中的那个那个妖冶邪异的公式(3.14). 唯一的区别在于, 我们这里假设现金资产的下限为 0, 而不是某个一般的正实数 L . 如果规定公司的现金资产下限为 L , 完全类似的方法可以得到返回线公式

$$r = \left(\frac{3\sigma^2\gamma}{4\nu} \right)^{\frac{1}{3}} + L,$$

此时(3.43)式的相应版本为

$$h - r = 2(r - L),$$

即

$$h = 3r - 2L, \quad (3.44)$$

这正是 CPA 应试教辅中所谓“现金资产上限与现金资产下限, 现金返回线之间的关系”.

注记 3.12. 我们也可以用均值不等式来计算 c 的最小值:

$$\begin{aligned}
 c &= \frac{\nu}{3}(2r + r') + \frac{\sigma^2\gamma}{rr'} \\
 &\geq \frac{2\sqrt{2}\nu}{3}\sqrt{rr'} + \frac{\sigma^2\gamma}{rr'} \\
 &= \frac{\sqrt{2}\nu}{3}\sqrt{rr'} + \frac{\sqrt{2}\nu}{3}\sqrt{rr'} + \frac{\sigma^2\gamma}{rr'} \\
 &\geq 3\sqrt[3]{\left(\frac{\sqrt{2}\nu}{3}\sqrt{rr'}\right)^2 \cdot \frac{\sigma^2\gamma}{rr'}} \\
 &= (6\nu^2\sigma^2\gamma)^{\frac{1}{3}},
 \end{aligned}$$

检查均值不等式的取等条件也可得(3.42)(3.43).

至此, 笔者自以为理解了这个现金资产管理的所谓 Miller-Orr 模型.

4. 非交换代数与几何

本章用于记录笔者学习李群李代数以及非交换代数的心得点滴.

4.1 B-C-H 公式及其应用

设李代数 $\mathfrak{g} = \mathfrak{gl}(n, \mathbb{C})$, 若 $X, Y, Z \in \mathfrak{g}$ 满足 $e^X e^Y = e^Z$, 则有众所周知的 **Baker-Campbell-Hausdorff** 公式:

$$Z = X + Y + \frac{1}{2}[X, Y] + \frac{1}{12}[X, [X, Y]] - \frac{1}{12}[Y, [X, Y]] + \cdots, \quad (4.1)$$

其中省略号代表的项的表达式非常复杂, 感兴趣者可查阅 **Dynkin 公式**, 而我们只需知道它形如 X, Y 反复作李括号. 事实上, 下述引理比公式(4.1)更加基本:

引理 4.1. 对于李代数 $\mathfrak{g} = \mathfrak{gl}(n, \mathbb{C})$, 以及 \mathfrak{g} 上的可微曲线 $\gamma: (-\delta, \delta) \rightarrow \mathfrak{g}$, $t \mapsto \gamma(t)$, 其中 $\delta > 0$, 则有如下求导公式:

$$\frac{d}{dt} e^{\gamma(t)} = e^{\gamma(t)} \left(\frac{1 - e^{-\text{ad}_{\gamma(t)}}}{\text{ad}_{\gamma(t)}} \right) (\gamma'(t)) \quad (4.2)$$

$$= \left[\left(\frac{e^{\text{ad}_{\gamma(t)}} - 1}{\text{ad}_{\gamma(t)}} \right) (\gamma'(t)) \right] e^{\gamma(t)}, \quad (4.3)$$

其中 $\text{ad}: \mathfrak{g} \rightarrow \mathfrak{gl}(\mathfrak{g})$, $X \mapsto \text{ad}_X$ 是李代数 \mathfrak{g} 的伴随表示.

此引理的证明详见各种李群李代数教材, 例如 [GTM235], 这里不再重复. 不过我们还是简要回忆一下如何用此引理来推导(4.1)式: 设 \mathfrak{g} 中的曲线 $Z(t)$ 满足

$$e^{Z(t)} = e^{tX} e^{tY}, \quad t \in [0, 1],$$

则 $Z(0) = 0$, 并且我们只需要计算 $Z(1)$; 为此, 将上式两边对 t 求导, 得到 $Z'(t)$ 的表达式, 最后由 $Z(1) = Z(0) + \int_0^1 Z'(t) dt$ 经过一番计算即可得到(4.1), 甚至能给出省略号部分的完整表达式.

我们来看引理4.1在可积方程簇理论中的应用. 考虑形式变元 u 的如下微分多项式环

$$\mathcal{A} := C^\infty(u)[u_x, u_{xx}, \dots, u^{(k)}, \dots],$$

即 \mathcal{A} 中的元素光滑地依赖 u , 且多项式地依赖 jet 变元 u_x, u_{xx}, \dots . 定义 \mathcal{A} 上的分次 \deg 如下: 对任意 $\varphi \in C^\infty(0)$, $\deg \varphi(u) := 0$; 对于 $k \geq 1$, 规定 $\deg u^{(k)} = k$. 则在此分次下, 有微分分次代数 $(\mathcal{A}, \partial_x)$, 其中微分算子

∂_x 按通常方式自然定义: $\partial_x \varphi(u) = \varphi'(u)u_x$, $\partial_x u^{(k)} = u^{(k+1)}$. 记 \mathcal{A} 关于分次 \deg 的直和分解为

$$\mathcal{A} = \bigoplus_{k=0}^{\infty} \mathcal{A}_k,$$

其中 \mathcal{A}_k 是 \mathcal{A} 中 k 次齐次元之全体, 注意 $\partial_x(\mathcal{A}_k) \subseteq \mathcal{A}_{k+1}$, 换言之微分算子 ∂_x 的次数是 1. 考虑 \mathcal{A} 的完备化

$$\hat{\mathcal{A}} := \varinjlim_{k \rightarrow \infty} \left(\bigoplus_{i=1}^k \mathcal{A}_i \right) \cong \prod_{k \geq 0} \mathcal{A}_k. \quad (4.4)$$

我们习惯将 $\hat{\mathcal{A}}$ 中的元素 $f = (f_0, f_1, \dots, f_k, \dots)$ ($f_k \in \mathcal{A}_k$) 记作

$$f = \sum_{k=0}^{\infty} \varepsilon^k f_k,$$

这里的形式参数 ε 视为无穷小量, 用于标记各项的次数. 在此约定下, 微分算子 ∂_x 被重新记为 $\varepsilon \partial_x$. 另外, $\hat{\mathcal{A}}$ 自然视为 $\mathcal{A}[[\varepsilon]]$ 的子环.

注意 $\hat{\mathcal{A}}$ 中元素通过乘法作用自然视为 $\hat{\mathcal{A}}$ 上的线性算子, 即有

$$\begin{aligned} \hat{\mathcal{A}} &\hookrightarrow \mathfrak{gl}(\hat{\mathcal{A}}) \\ f &\mapsto (g \mapsto fg). \end{aligned}$$

此外, 微分算子 $\varepsilon \partial_x$ 本身就是 $\hat{\mathcal{A}}$ 上的线性算子. 考虑由这两类线性算子 (的线性组合) 构成的李代数

$$\mathfrak{g} := \hat{\mathcal{A}} \oplus \mathbb{C} \varepsilon \partial_x \subseteq \mathfrak{gl}(\hat{\mathcal{A}}), \quad (4.5)$$

这是无穷维李代数.

例题 4.2. 记号承上, 对于 $f, g \in \hat{\mathcal{A}}$, 则在 \mathfrak{g} 中有交换关系

$$[f, g] = 0$$

$$[\varepsilon\partial_x, f] = \varepsilon\partial_x \circ f - f \circ \varepsilon\partial_x = \varepsilon\partial_x(f).$$

从而 $\hat{\mathcal{A}}$ 是 \mathfrak{g} 的阿贝尔子代数, 且是 \mathfrak{g} 的理想.

一般来说, 对于无穷维线性空间上的线性算子 X , 其指数映射 $\exp X$ 未必良定; 但对于(4.5)中的李代数 \mathfrak{g} , 指数映射

$$\begin{aligned}\exp: \mathfrak{g} &\rightarrow \mathrm{GL}(\hat{\mathcal{A}}) \\ X &\mapsto e^X\end{aligned}$$

是良定的, 容易验证 $e^X := \sum_{k \geq 0} \frac{X^k}{k!}$ 在 ε -进制拓扑下收敛. 特别地, 对于微分算子 $\varepsilon\partial_x \in \mathfrak{g}$, 记其指数映射

$$\Lambda := e^{\varepsilon\partial_x}, \quad (4.6)$$

这是离散可积方程簇中常见的差分算子.

在学习分数阶 **Volterra** 方程簇 (Fractional Volterra Hierarchy, FVH) 时, 笔者遇到了这样的一个等式:

性质 4.3. 记号承上, 则在 \mathfrak{g} 中成立

$$\log(e^u \Lambda) = \varepsilon\partial_x + \frac{\varepsilon\partial_x}{\Lambda - 1}(u), \quad (4.7)$$

即 $\exp(\varepsilon\partial_x + \frac{\varepsilon\partial_x}{\Lambda - 1}(u)) = e^u \Lambda$. 注意这里 $\frac{\varepsilon\partial_x}{\Lambda - 1}(u) \in \hat{\mathcal{A}} \subseteq \mathfrak{g}$.

提出此公式的某人说, 这个式子“容易”从 B-C-H 公式(4.1)推出来, 但笔者认为没那么简单.

证明. 对于 $t \in [0, 1]$, 记 \mathfrak{g} 上的光滑曲线 $Z(t) := \log(e^{tu} \Lambda)$, 即

$$e^{Z(t)} = e^{tu} \Lambda, \quad (4.8)$$

则首先有 $Z(0) = \log \Lambda := \varepsilon \partial_x$. 我们只需要计算 $Z(1)$. 利用(4.3)(假装这些公式对合适的无穷维李代数也成立) 对上式两边求导, 有

$$\left[\frac{e^{\text{ad}_{Z(t)}} - 1}{\text{ad}_{Z(t)}}(Z'(t)) \right] e^{Z(t)} = u e^{tu} \Lambda = u e^{Z(t)},$$

从而立刻得到

$$Z'(t) = \frac{\text{ad}_{Z(t)}}{e^{\text{ad}_{Z(t)}} - I}(u). \quad (4.9)$$

另一方面, 注意对任意 $f \in \hat{\mathcal{A}} \subseteq \mathfrak{g}$ 都有

$$\begin{aligned} e^{\text{ad}_{Z(t)}}(f) &= e^{Z(t)} \circ f \circ e^{-Z(t)} = e^{tu} \Lambda \circ f \circ \Lambda^{-1} e^{-tu} \\ &= \Lambda(f) := e^{\varepsilon \partial_x}(f) \in \hat{\mathcal{A}} \subseteq \mathfrak{g}, \end{aligned}$$

从而有

$$\begin{aligned} \text{ad}_{Z(t)}(f) &= \log(1 + (e^{\text{ad}_{Z(t)}} - 1))(f) = \sum_{k \geq 1} (-1)^{k+1} \frac{(e^{\text{ad}_{Z(t)}} - 1)^k}{k}(f) \\ &= \sum_{k \geq 1} (-1)^{k+1} \frac{(e^{\varepsilon \partial_x} - 1)^k}{k}(f) = \varepsilon \partial_x(f). \end{aligned}$$

特别地, 在上式中取 $f = u, u_x, \dots, u^{(k)}, \dots$, 并结合(4.9)式可得

$$\begin{aligned} Z(1) &= Z(0) + \int_0^1 Z'(t) dt = \varepsilon \partial_x + \int_0^1 \frac{\text{ad}_{Z(t)}}{e^{\text{ad}_{Z(t)}} - 1}(u) dt \\ &= \varepsilon \partial_x + \int_0^1 \frac{\varepsilon \partial_x}{e^{\varepsilon \partial_x} - 1}(u) dt = \varepsilon \partial_x + \frac{\varepsilon \partial_x}{\Lambda - 1}(u), \end{aligned}$$

从而得证. □

4.2 Schouten-Nijenhuis 括号与超泊松括号

设 M 为 n 维光滑流形, $PV^p(M) := \Gamma(M, \wedge^p TM)$ 为 M 上的 p -向量场之全体 ($p \geq 0$), 记

$$PV^\bullet(M) := \bigoplus_{p \geq 0} PV^p(M),$$

其中元素统称为 M 上的**多重向量场**. 在局部坐标 (u^1, u^2, \dots, u^n) 下, $PV^p(M)$ 中的元素都形如

$$P = P^{i_1 i_2 \dots i_p} \frac{\partial}{\partial u^{i_1}} \wedge \frac{\partial}{\partial u^{i_2}} \wedge \dots \wedge \frac{\partial}{\partial u^{i_p}}. \quad (4.10)$$

在 $PV^\bullet(M)$ 上有众所周知的 **Schouten-Nijenhuis 括号**

$$[,]: PV^\bullet(M) \times PV^\bullet(M) \rightarrow PV^\bullet(M), \quad (4.11)$$

它是 \mathbb{R} -双线性映射, 可如下直接定义: 对任意 $X_1, X_2, \dots, X_p; Y_1, Y_2, \dots, Y_q \in \text{Vect}(M) \cong PV^1(M)$, 以及 $f, g \in C^\infty(M) \cong PV^0(M)$,

$$\begin{aligned} & [X_1 \wedge X_2 \wedge \dots \wedge X_p, Y_1 \wedge Y_2 \wedge \dots \wedge Y_q] \\ &:= \sum_{i=1}^p \sum_{j=1}^q (-1)^{i+j} [X_i, Y_j] \wedge \left(X_1 \wedge \dots \wedge \widehat{X}_i \wedge \dots \wedge X_p \right) \\ & \quad \wedge \left(Y_1 \wedge \dots \wedge \widehat{Y}_j \wedge \dots \wedge Y_q \right), \end{aligned} \quad (4.12)$$

$$\begin{aligned} & [X_1 \wedge X_2 \wedge \dots \wedge X_p, g] \\ &:= \sum_{i=1}^p (-1)^{p-i} X_i(g) \left(X_1 \wedge \dots \wedge \widehat{X}_i \wedge \dots \wedge X_p \right), \end{aligned} \quad (4.13)$$

$$\begin{aligned} & [f, Y_1 \wedge Y_2 \wedge \dots \wedge Y_q] \\ &:= \sum_{j=1}^q (-1)^j Y_j(f) \left(Y_1 \wedge \dots \wedge \widehat{Y}_j \wedge \dots \wedge Y_q \right), \end{aligned} \quad (4.14)$$

$$[f, g] := 0. \quad (4.15)$$

特别地, 对于通常的切向量场 $X, Y \in \mathbf{Vect}(M) \cong \mathbf{PV}^1(M)$, 它们的 Schouten-Nijenhuis 括号 $[X, Y]$ 恰为通常的李括号.

可以证明由(4.12)-(4.15) 所给出的 $[\cdot, \cdot]$ 良好定义, 并且满足如下运算律: 对任意 $P \in \mathbf{PV}^p(M), Q \in \mathbf{PV}^q(M), R \in \mathbf{PV}^r(M)$ 都有

1. $[P, Q] \in \mathbf{PV}^{p+q-1}(M)$, 其中特别规定 $\mathbf{PV}^{-1}(M) := \{0\}$;

2. 超反对称性

$$[P, Q] = -(-1)^{(p-1)(q-1)}[Q, P]; \quad (4.16)$$

3. 超 Leibniz 法则

$$[P, Q \wedge R] = [P, Q] \wedge R + (-1)^{(p-1)q} Q \wedge [P, R]; \quad (4.17)$$

4. 超 Jacobi 恒等式

$$[P, [Q, R]] = [[P, Q], R] + (-1)^{(p-1)(q-1)}[Q, [P, R]]. \quad (4.18)$$

注记 4.4. 超 Leibniz 法则也可对偶地写成

$$[Q \wedge R, P] = Q \wedge [R, P] + (-1)^{r(p-1)}[[Q, P], R]; \quad (4.19)$$

超 Jacobi 恒等式也可改写为如下轮换对称形式

$$\begin{aligned} 0 &= (-1)^{(p-1)(r-1)}[P, [Q, R]] \\ &\quad + (-1)^{(q-1)(p-1)}[Q, [R, P]] \\ &\quad + (-1)^{(r-1)(q-1)}[R, [P, Q]]. \end{aligned}$$

注记 4.5. 相比显式表达式(4.12)-(4.15), 我们更关心 Schouten-Nijenhuis 括号的运算律. 事实上, 可以证明 $[\cdot, \cdot]$ 被初始条件

$$[f, g] := 0, \quad [X, f] := X(f), \quad [X, Y] := \mathcal{L}_X Y$$

($\forall f, g \in C^\infty(M), X, Y \in \text{Vect}(M)$) 以及运算律(4.16),(4.17)所唯一确定. 特别注意, 如果超反对称性与超 Leibniz 法则成立, 那么超 Jacobi 恒等式自动成立, 这可通过对 $p + q + r$ 使用数学归纳法来直接验证.

在哈密顿系统的研究中常需要通过具体计算 Schouten-Nijenhuis 括号来验证哈密顿结构; 而显式表达式(4.12)-(4.15)过于繁琐, 尤其在无穷维流形的推广情形之下更难以用于具体计算. 而本节的目的正是寻求 Schouten-Nijenhuis 括号的简便算法.

为此先引入如下偷懒记号: 将 p -向量场(4.10)简记为

$$P \mapsto \hat{P} := P^{i_1 i_2 \cdots i_p} \theta_{i_1} \theta_{i_2} \cdots \theta_{i_p}, \quad (4.20)$$

换言之, 我们按照以下规则来改写: 用符号 θ_i 来代替 $\frac{\partial}{\partial u^i}$, 然后将“ \wedge ”省略. 这样的 θ_i 被物理学家们称为 **Grassmann 变量**或者**超变量**, 它们之间的乘法是反交换的:

$$\theta_i \theta_j = -\theta_j \theta_i, \quad (4.21)$$

如此便自然进入了**超流形**的世界:

定义 4.6. 对于 n 维光滑流形, 记余切丛 T^*M 的超化

$$\widehat{M} := \Pi(T^*M). \quad (4.22)$$

具体地, M 的局部坐标卡 U 诱导 \widehat{M} 的局部坐标卡

$$\widehat{U} \cong U \times \mathbb{R}^{0|n};$$

M 的局部坐标 (u^1, u^2, \dots, u^n) 自然给出 \widehat{M} 的局部坐标 $(u^i; \theta_i)$, 这里的超变量 θ_i 表示 du^i 的分量.

容易验证, 在另一组局部坐标 $\{\tilde{u}^i\}$ 下, 相应的超变量 $\tilde{\theta}_i$ 与旧坐标 θ_i 之间的转换关系为

$$\tilde{\theta}_i = \frac{\partial u^j}{\partial \tilde{u}^i} \theta_j, \quad (4.23)$$

这恰与切向量场 $\frac{\partial}{\partial u^i}$ 的转换关系相同.

定义 4.7. 对于 n 维光滑流形 M , 定义非交换环 $C^\infty(\widehat{M})$ 如下: 在 M 的局部平凡坐标卡 U 下,

$$C^\infty(\widehat{M})|_U := C^\infty(U)[\theta_1, \theta_2, \dots, \theta_n], \quad (4.24)$$

即关于超变量 θ_i 的 $C^\infty(U)$ -多项式环, 其中超变量 θ_i 满足(4.21).

我们更习惯把 $C^\infty(\widehat{M})$ 重新记为 $\widehat{\mathcal{A}}^\bullet(M)$, 即

$$\widehat{\mathcal{A}}^\bullet(M) := C^\infty(\widehat{M}). \quad (4.25)$$

注意 $\widehat{\mathcal{A}}^\bullet(M)$ 中的元素按所含超变量的次数有自然的分次

$$\widehat{\mathcal{A}}^\bullet(M) = \bigoplus_{p \geq 0} \widehat{\mathcal{A}}^p(M),$$

俗称**超分次**. “偷懒写法”(4.20)其实给出了分次代数 $(\mathbf{PV}^\bullet(M), \wedge)$ 与 $(\widehat{\mathcal{A}}^\bullet(M), \cdot)$ 之间的同构

$$\begin{aligned}\iota: \mathbf{PV}^\bullet(M) &\rightarrow \widehat{\mathcal{A}}^\bullet(M) \\ P &\mapsto \widehat{P}.\end{aligned}\tag{4.26}$$

众所周知, 余切丛 T^*M 有典范的辛结构, 从而 $C^\infty(T^*M)$ 上有典范的泊松括号; 类似地, 余切丛的超化 $\widehat{M} := \Pi(T^*M)$ 有典范的“**超辛结构**”, 从而 $\widehat{\mathcal{A}}^\bullet(M) := C^\infty(\widehat{M})$ 上有相应的**超泊松括号**, 其定义如下:

定义 4.8. 对于 n 维光滑流形 M 以及 $\widehat{P}, \widehat{Q} \in \widehat{\mathcal{A}}^\bullet(M)$, 定义

$$[\widehat{P}, \widehat{Q}] := \widehat{P} \left(\overleftarrow{\frac{\partial}{\partial u^i}} \overrightarrow{\frac{\partial}{\partial \theta_i}} - \overleftarrow{\frac{\partial}{\partial \theta_i}} \overrightarrow{\frac{\partial}{\partial u^i}} \right) \widehat{Q}.\tag{4.27}$$

如此运算 $[\cdot, \cdot]: \widehat{\mathcal{A}}^\bullet(M) \times \widehat{\mathcal{A}}^\bullet(M) \rightarrow \widehat{\mathcal{A}}^\bullet(M)$ 称为**超泊松括号**.

特别注意这里的 $\overleftarrow{\frac{\partial}{\partial \theta_i}}$ 是右微分算子, 它从右边作用于 $\widehat{\mathcal{A}}^\bullet(M)$ 中的元素; 而通常的左微分算子 $\overrightarrow{\frac{\partial}{\partial \theta_i}}$ 常简记为 $\frac{\partial}{\partial \theta_i}$. 此外还要注意沿超变量的偏导 $\frac{\partial}{\partial \theta_i} := \overrightarrow{\frac{\partial}{\partial \theta_i}}$ 满足如下**超 Leibniz 法则**:

$$\frac{\partial}{\partial \theta_i}(\widehat{P}\widehat{Q}) = \frac{\partial \widehat{P}}{\partial \theta_i} \widehat{Q} + (-1)^p \widehat{P} \frac{\partial \widehat{Q}}{\partial \theta_i}\tag{4.28}$$

对任意 $\widehat{P} \in \widehat{\mathcal{A}}^p(M)$, $\widehat{Q} \in \widehat{\mathcal{A}}^q(M)$ 都成立. 而右微分算子 $\overleftarrow{\frac{\partial}{\partial \theta_i}}$ 满足右作用的超 Leibniz 法则

$$(\widehat{P}\widehat{Q}) \overleftarrow{\frac{\partial}{\partial \theta_i}} = \widehat{P} \left(\widehat{Q} \overleftarrow{\frac{\partial}{\partial \theta_i}} \right) + (-1)^q \left(\widehat{P} \overleftarrow{\frac{\partial}{\partial \theta_i}} \right) \widehat{Q}.\tag{4.29}$$

由此容易验证

$$\widehat{P} \overleftarrow{\frac{\partial}{\partial \theta_i}} = (-1)^{p-1} \frac{\partial \widehat{P}}{\partial \theta_i}, \quad \forall \widehat{P} \in \widehat{\mathcal{A}}^p(M).\tag{4.30}$$

由上式可以给出超泊松括号的如下等价定义:

性质 4.9. 设 M 为 n 维光滑流形, 则对任意 $\hat{P} \in \hat{\mathcal{A}}^p(M)$, $\hat{Q} \in \hat{\mathcal{A}}^q(M)$ 都成立

$$[\hat{P}, \hat{Q}] = \frac{\partial \hat{P}}{\partial u^i} \frac{\partial \hat{Q}}{\partial \theta_i} + (-1)^p \frac{\partial \hat{P}}{\partial \theta_i} \frac{\partial \hat{Q}}{\partial u^i}. \quad (4.31)$$

由此可以直接验证超泊松括号满足与 Schouten-Nijenhuis 括号相同的运算律: 对任意 $\hat{P} \in \hat{\mathcal{A}}^p(M)$, $\hat{Q} \in \hat{\mathcal{A}}^q(M)$, $\hat{R} \in \hat{\mathcal{A}}^r(M)$ 都有

1. $[\hat{P}, \hat{Q}] \in \hat{\mathcal{A}}^{p+q-1}(M)$, 其中特别规定 $\hat{\mathcal{A}}^{-1}(M) := \{0\}$;

2. 超反对称性

$$[\hat{P}, \hat{Q}] = -(-1)^{(p-1)(q-1)}[\hat{Q}, \hat{P}]; \quad (4.32)$$

3. 超 Leibniz 法则

$$[\hat{P}, \hat{Q}\hat{R}] = [\hat{P}, \hat{Q}]\hat{R} + (-1)^{(p-1)q}\hat{Q}[\hat{P}, \hat{R}]; \quad (4.33)$$

4. 超 Jacobi 恒等式

$$[\hat{P}, [\hat{Q}, \hat{R}]] = [[\hat{P}, \hat{Q}], \hat{R}] + (-1)^{(p-1)(q-1)}[\hat{Q}, [\hat{P}, \hat{R}]]. \quad (4.34)$$

与注记 4.5 完全类似, 只需验证超反对称性与超 Leibniz 法则即可, 这两条成立则超 Jacobi 恒等式自动成立. 因此我们立刻得到本小节主要结论:

定理 4.10. 设 M 为 n 维光滑流形, 则对任意 $P, Q \in \text{PV}^\bullet(M)$ 都成立

$$\iota[P, Q] = -[\iota(P), \iota(Q)], \quad (4.35)$$

其中同构映射 ι 的定义见 (4.26), 并且上式左右两边的括号分别为 Schouten-Nijenhuis 括号与超泊松括号.

证明. 只需考虑 P, Q 为齐次元的情形, 即不妨 $P \in \mathbf{PV}^p(M), Q \in \mathbf{PV}^q(M)$. 注意 Schouten-Nijenhuis 括号与超泊松括号满足相同的运算律 (超反对称性与超 Leibniz 法则), 从而由注记 4.5 可知只需验证 $(p, q) = (0, 0), (0, 1), (1, 1)$ 的情形即可. 从而定理得证. \square

此定理将多重向量场的 Schouten-Nijenhuis 括号运算转化为超变量的运算, 实践表明后者的计算更简便, 尤其是在无穷维流形的推广情形下更能大大简化计算.

4.3 什么是经典 R -矩阵?

本节是本人笔记《辛几何初步》第 3.2.4 节的番外篇, 内容选自 M. A. Semenov-Tyan-Shanskii. *What is a classical R -matrix?*

4.3.1 经典 R -矩阵与双李代数

定义 4.11. 对于 (有限维 \mathbb{R} -) 李代数 \mathfrak{g} 以及线性算子 $R \in \text{End}(\mathfrak{g})$, 如果二元运算

$$\begin{aligned} [\cdot, \cdot]_R: \mathfrak{g} \times \mathfrak{g} &\rightarrow \mathfrak{g} \\ (X, Y) &\mapsto [RX, Y] + [X, RY] \end{aligned} \tag{4.36}$$

是李括号, 则称 R 是经典 R -矩阵 (*classical R -matrix*), 并且称 (\mathfrak{g}, R) 为双李代数 (*double Lie algebra*).

注意 $[\cdot, \cdot]_R$ 总是自动满足双线性与反对称性, 从而 R 是经典 R -矩阵当且仅当 $[\cdot, \cdot]_R$ 满足 Jacobi 恒等式. 对于双李代数 (\mathfrak{g}, R) , 我们也将关于括号 $[\cdot, \cdot]_R$ 的李代数 $(\mathfrak{g}, [\cdot, \cdot]_R)$ 简记为 \mathfrak{g}_R .

众所周知, 李代数 \mathfrak{g} 的对偶空间 \mathfrak{g}^* 上有典范的泊松结构, 即李-泊松结构. 而对于双李代数 (\mathfrak{g}, R) , 分别记 \mathfrak{g}^* 上的由通常李括号 $[\cdot, \cdot]$ 与 R -李括号 $[\cdot, \cdot]_R$ 所诱导的李-泊松括号为 $\{, \}$ 与 $\{, \}_R$. 换言之, 对任意 $f, g \in C^\infty(\mathfrak{g}^*)$ 以及点 $\xi \in \mathfrak{g}^*$, 成立

$$\begin{aligned}\{f, g\}(\xi) &= \langle \xi, [d_\xi f, d_\xi g] \rangle, \\ \{f, g\}_R(\xi) &= \langle \xi, [d_\xi f, d_\xi g]_R \rangle,\end{aligned}\tag{4.37}$$

这里的 $d_\xi: C^\infty(\mathfrak{g}^*) \rightarrow \mathfrak{g}$ 是以下若干映射的复合:

$$C^\infty(\mathfrak{g}^*) \xrightarrow{d} \Omega^1(\mathfrak{g}^*) \xrightarrow{\text{ev}_\xi} T_\xi^* \mathfrak{g}^* \cong (\mathfrak{g}^*)^* \cong \mathfrak{g},$$

且 $\langle \cdot, \cdot \rangle$ 为 \mathfrak{g}^* 与 \mathfrak{g} 的配对.

李代数 \mathfrak{g} 与 \mathfrak{g}_R 的余伴随表示分别记作 ad^* 与 ad_R^* , 即

$$\text{ad}^*, \text{ad}_R^*: \mathfrak{g} \rightarrow \text{End}(\mathfrak{g}^*),$$

使得对任意 $X, Y \in \mathfrak{g}$ 以及 $\xi \in \mathfrak{g}^*$ 都成立

$$\begin{aligned}\langle \text{ad}^* X \cdot \xi, Y \rangle &= -\langle \xi, [X, Y] \rangle, \\ \langle \text{ad}_R^* X \cdot \xi, Y \rangle &= -\langle \xi, [X, Y]_R \rangle.\end{aligned}\tag{4.38}$$

引理 4.12. 对于双李代数 (\mathfrak{g}, R) , 成立

$$\text{ad}_R^* = \text{ad}^* \circ R + R^* \circ \text{ad}^*,\tag{4.39}$$

其中 $R^*: \mathfrak{g}^* \rightarrow \mathfrak{g}^*$ 是 R 的对偶算子.

证明. 对任意 $X, Y \in \mathfrak{g}$ 以及 $\xi \in \mathfrak{g}^*$, 由相关定义直接验证如下:

$$\langle \text{ad}_R^* X \cdot \xi, Y \rangle = -\langle \xi, [X, Y]_R \rangle = -\langle \xi, [RX, Y] + [X, RY] \rangle$$

$$\begin{aligned}
&= \langle \text{ad}^* RX \cdot \xi, Y \rangle + \langle \text{ad}^* X \cdot \xi, RY \rangle \\
&= \langle (\text{ad}^* \circ R + R^* \circ \text{ad}^*) X \cdot \xi, Y \rangle,
\end{aligned}$$

从而得证. □

对于 $f \in C^\infty(\mathfrak{g}^*)$, 则 $\text{ad}^*(\text{d}_\xi f) = 0$ 对 $\xi \in \mathfrak{g}^*$ 恒成立, 当且仅当对任意 $g \in C^\infty(\mathfrak{g}^*)$ 都有

$$\{f, g\}(\xi) = \langle \xi, [\text{d}_\xi f, \text{d}_\xi g] \rangle = - \left\langle \text{ad}_{\text{d}_\xi f}^* \cdot \xi, \text{d}_\xi g \right\rangle = 0,$$

即 f 是泊松括号 $\{, \}$ 的 **Casimir 函数**. 因此 $f \in C^\infty(\mathfrak{g}^*)$ 是李-泊松括号 $\{, \}$ 的 Casimir 函数, 当且仅当 $\text{ad}^*(\text{d}_\xi f) = 0$ 对 $\xi \in \mathfrak{g}^*$ 恒成立.

引理 4.13. 对于双李代数 (\mathfrak{g}, R) , 若 $f, g \in C^\infty(\mathfrak{g}^*)$ 是 $\{, \}$ 的 Casimir 函数, 则

$$\{f, g\}_R = 0.$$

证明. 由于 f, g 是李-泊松括号 $\{, \}$ 的 Casimir 函数, 从而对任意 $\xi \in \mathfrak{g}^*$ 都有 $\text{ad}^* \text{d}_\xi f = \text{ad}^* \text{d}_\xi g = 0$, 因此

$$\begin{aligned}
\{f, g\}_R(\xi) &= \langle \xi, [\text{d}_\xi f, \text{d}_\xi g]_R \rangle \\
&= \langle \xi, [R(\text{d}_\xi f), \text{d}_\xi g] + [\text{d}_\xi f, R(\text{d}_\xi g)] \rangle \\
&= \langle \text{ad}^* \text{d}_\xi g \cdot \xi, R(\text{d}_\xi f) \rangle - \langle \text{ad}^* \text{d}_\xi f \cdot \xi, R(\text{d}_\xi g) \rangle \\
&= 0,
\end{aligned}$$

从而得证. □

引理 4.14. 对于双李代数 (\mathfrak{g}, R) , 若哈密顿量 $H \in C^\infty(\mathfrak{g}^*)$ 是关于 $\{\cdot, \cdot\}$ 的 *Casimir* 函数, 则 H 关于李-泊松括号 $\{\cdot, \cdot\}_R$ 的哈密顿演化方程为

$$\frac{d\xi}{dt} = \text{ad}^* R(d_\xi H) \cdot \xi, \quad (4.40)$$

这里 $t \mapsto \xi := \xi(t)$ 为 \mathfrak{g}^* 中的曲线.

证明. 该哈密顿演化方程众所周知的表达式应该是

$$\frac{d\xi}{dt} = \text{ad}_R^* d_\xi H \cdot \xi,$$

然后利用(4.39)并注意 $\text{ad}^* d_\xi H = 0$ 即可. □

5. 可积系统理论

本章用于收集笔者在可积系统理论的学习, 教学与科研中的各种随笔, 主要涉及 Dubrovin-Frobenius 流形理论以及双哈密顿结构的形变.

5.1 Frobenius 流形的 Legendre 变换

Frobenius 流形是二维拓扑场论 (2D TFT) 的 primary free energy 所满足的 Witten-Dijkgraaf-Verlinde-Verlinde 结合性方程 (简称 **WDVV** 方程) 的几何模型, 由 Dubrovin 在 20 世纪 90 年代引入. Frobenius 流形的数学定义有若干不同的版本, 而本小节临时采用如下约定:

定义 5.1. 所谓 **Frobenius** 流形, 是指四元组 (M, η, \cdot, e) , 其中:

- M 是 n 维复流形, η 是 M 上的全纯 (伪) 黎曼度量;
- \cdot 是 M 上的 $(1, 2)$ -型张量, e 为 M 上的切向量场,

使得满足以下条件:

1. 度量 η 是平坦的;
2. 任意 $p \in M$, 切空间 $T_p M$ 具有 **Frobenius** 代数结构 $(T_p M, \eta, \cdot)$, 使得 η, \cdot 分别为该 **Frobenius** 代数的内积与乘法, 并且 e 处处是该 **Frobenius** 乘法的单位元;
3. 若引入 $(0, 3)$ -型张量 $c: (X, Y, Z) \mapsto \eta(X \cdot Y, Z)$, 并记 ∇ 为度量 η 的 *Levi-Civita* 联络, 则 $(0, 4)$ -型张量 ∇c 是 4-对称的.

由于度量 η 是平坦的, 我们不妨取 **Frobenius** 流形的一组平坦坐标 $\{v^\alpha\}$. 在此坐标下, 度量 η 形如

$$\eta = \eta_{\alpha\beta} dv^\alpha \otimes dv^\beta, \quad (5.1)$$

其中 $(\eta_{\alpha\beta})$ 是常系数可逆方阵. 此外, 张量 c 在该坐标下形如

$$c = c_{\alpha\beta\gamma} dv^\alpha \otimes dv^\beta \otimes dv^\gamma.$$

由张量 ∇c 的 4-对称性可知, (局部) 存在函数 $F = F(v^1, \dots, v^n)$ 使得

$$c_{\alpha\beta\gamma} = \frac{\partial^3 F}{\partial v^\alpha \partial v^\beta \partial v^\gamma}, \quad (5.2)$$

如此 F 称为 **Frobenius** 流形的**势函数**. 在此语境下, **Frobenius** 代数乘法的结合性等价于如下方程:

$$\frac{\partial^3 F}{\partial v^\alpha \partial v^\beta \partial v^\lambda} \eta^{\lambda\mu} \frac{\partial^3 F}{\partial v^\mu \partial v^\gamma \partial v^\delta} = \frac{\partial^3 F}{\partial v^\delta \partial v^\beta \partial v^\lambda} \eta^{\lambda\mu} \frac{\partial^3 F}{\partial v^\mu \partial v^\gamma \partial v^\alpha}, \quad (5.3)$$

这正是著名的 WDVV 方程, 其中 $(\eta^{\alpha\beta}) := (\eta_{\alpha\beta})^{-1}$.

注记 5.2. 在别的版本的定义中, 单位向量场 e 需要满足 $\nabla e = 0$, 即要求单位向量场的平坦性. 而本小节中的 Frobenius 流形并不被要求具有此性质 (这种单位向量场未必平坦的情形在某些别的场合被笔者称为“广义 Frobenius 流形”). 此外, Dubrovin 关于 Frobenius 流形的原始定义中还要求其具有某种“拟齐次性”, 需要具有所谓“欧拉向量场”, 而本小节对此也无要求.

对于给定的 Frobenius 流形 (M, η, \cdot, e) , 我们可以通过某种方式引入一个新的度量 $\hat{\eta}$, 使得 M 在新度量 η 与原来的乘法 \cdot 意义下成为另一个 Frobenius 流形 $(M, \hat{\eta}, \cdot, e)$, 这样的变换被称为 Frobenius 流形的 **Legendre 变换**, 它最初也是由 Dubrovin 所提出. 本小节的目的是将 Legendre 变换适当推广.

定义 5.3. Frobenius 流形 (M, η, \cdot, e) 上的切向量场 $b \in \text{Vect}(M)$ 称为 **Legendre 向量场**, 如果 b 同时满足以下两条:

1. b 关于 Frobenius 乘法处处可逆;
2. 令 M 上的 $(1, 1)$ -型张量场 $B: X \mapsto b \cdot X$, 则 ∇B 是 2-对称的, 其中 ∇ 是关于度量 η 的 Levi-Civita 联络.

取关于度量 η 的平坦坐标 $\{v^\alpha\}$, 在此坐标下记

$$b = b^\alpha \frac{\partial}{\partial v^\alpha},$$

则张量 B 在该坐标下的系数矩阵 (B_α^β) 为

$$B_\alpha^\beta = b^\lambda c_{\lambda\alpha}^\beta.$$

于是, b 为 Frobenius 乘法的可逆元当且仅当矩阵 (B_α^β) 处处可逆; 而 ∇B

是 2-对称性等价于

$$\partial_\gamma B_\alpha^\beta = \partial_\alpha B_\gamma^\beta. \quad (5.4)$$

常见的例子是, 如果 b 在平坦坐标下的各分量系数 b^α 都是常数, 则 ∇B 的 2-对称性, 也就是上式, 自动成立.

接下来给出本小节主要结果:

定理 5.4. 设 b 为 Frobenius 流形 (M, η, \cdot, e) 的 Legendre 向量场, 引入 M 上的 $(0, 2)$ -型张量 $\hat{\eta}$ 如下:

$$\hat{\eta}(X, Y) := \eta(b \cdot X, b \cdot Y), \quad (5.5)$$

则 $(M, \hat{\eta}, \cdot, e)$ 也是 Frobenius 流形.

对任意 $p \in M$, $(T_p M, \hat{\eta}, \cdot)$ 显然也构成 Frobenius 代数; 于是只需再验证以下两点:

- $\hat{\eta}$ 是平坦度量;
- $\hat{\nabla}\hat{c}$ 是 4-对称的, 其中 $\hat{c}: (X, Y, Z) \mapsto \hat{\eta}(X \cdot Y, Z)$, 并且 $\hat{\nabla}$ 是关于度量 $\hat{\eta}$ 的 Levi-Civita 联络.

用整体定义的张量语言来验证它们, 是十分枯燥复杂的; 我们最好还是充分利用一些特殊技巧: 为证明 $\hat{\eta}$ 的平坦性, 我们不要去直接验算黎曼曲率张量, 而是去构造相应的平坦坐标 \hat{v}^α ; 为证明 $\hat{\nabla}\hat{c}$ 的 4-对称性, 我们不要直接求张量的协变导数, 而是去构造相应的势函数 \hat{F} .

定理 5.4 的证明. 取定关于度量 η 的一组平坦坐标 v^α , 使得 η 形如(5.1). 再记 F 为(5.2)中的势函数.

1. 断言: 存在局部坐标 $\{\hat{v}^\alpha\}$, 使得

$$\hat{\eta} = \eta_{\alpha\beta} d\hat{v}^\alpha \otimes d\hat{v}^\beta, \quad (5.6)$$

从而 $\hat{\eta}$ 在坐标 \hat{v}^α 下是常系数的, 从而 $\hat{\eta}$ 平坦. 注意到, 如果(5.6)成立, 则应该有

$$\eta_{\alpha\beta} = \hat{\eta} \left(\frac{\partial}{\partial \hat{v}^\alpha}, \frac{\partial}{\partial \hat{v}^\beta} \right) = \eta \left(b \cdot \frac{\partial}{\partial v^\alpha}, b \cdot \frac{\partial}{\partial v^\beta} \right),$$

由此可见, 如果能够找到局部坐标 $\{\hat{v}^\alpha\}$ 使得

$$\frac{\partial}{\partial v^\alpha} = b \cdot \frac{\partial}{\partial \hat{v}^\alpha}, \quad (5.7)$$

那么如此 $\{\hat{v}^\alpha\}$ 即为所求; 而容易验证(5.7)等价于

$$\frac{\partial \hat{v}^\alpha}{\partial v^\beta} = B_\beta^\alpha := b^\lambda c_{\lambda\beta}^\alpha. \quad (5.8)$$

上述方程的解 \hat{v}^α 的存在性的相容性条件恰为(5.4). 断言得证.

2. 记号承上, 断言: (局部) 存在函数 \hat{F} , 使得成立

$$\frac{\partial^2 \hat{F}}{\partial \hat{v}^\alpha \partial \hat{v}^\beta} = \frac{\partial^2 F}{\partial v^\alpha \partial v^\beta}. \quad (5.9)$$

为证此断言, 只需验证如下相容性条件:

$$\frac{\partial}{\partial \hat{v}^\gamma} \left(\frac{\partial^2 F}{\partial v^\alpha \partial v^\beta} \right) = \frac{\partial}{\partial \hat{v}^\alpha} \left(\frac{\partial^2 F}{\partial v^\gamma \partial v^\beta} \right).$$

注意(5.7), 从而

$$\frac{\partial}{\partial \hat{v}^\gamma} \left(\frac{\partial^2 F}{\partial v^\alpha \partial v^\beta} \right) = (B^{-1})_\gamma^\lambda c_{\lambda\alpha\beta} = \eta \left(b^{-1} \cdot \frac{\partial}{\partial v^\gamma} \cdot \frac{\partial}{\partial v^\alpha}, \frac{\partial}{\partial v^\beta} \right),$$

其中 b^{-1} 是向量场 b 关于 Frobenius 乘法的逆. 由乘法 \cdot 的结合性可知上述相容性条件满足, 断言得证.

3. 最后, 由 $\hat{\eta}$ 的定义以及(5.7)(5.9), 容易验证 \hat{F} 满足如下等式:

$$\hat{c}_{\hat{\alpha}\hat{\beta}\hat{\gamma}} := \hat{\eta} \left(\frac{\partial}{\partial \hat{v}^{\alpha}} \cdot \frac{\partial}{\partial \hat{v}^{\beta}}, \frac{\partial}{\partial \hat{v}^{\gamma}} \right) = \frac{\partial^3 \hat{F}}{\partial \hat{v}^{\alpha} \partial \hat{v}^{\beta} \partial \hat{v}^{\gamma}}, \quad (5.10)$$

从而立刻得到 $\hat{\nabla} \hat{c}$ 是 4-对称的.

综上, 定理得证. □

注记 5.5. 沿用前文记号. 我们回忆, 在平坦坐标 $\{v^{\alpha}\}$ 下, 分别记 Legendre 向量场 b 与单位向量场 e 为

$$b = b^{\alpha} \frac{\partial}{\partial v^{\alpha}}, \quad e = e^{\alpha} \frac{\partial}{\partial v^{\alpha}},$$

则单位向量场在新坐标 \hat{v}^{α} 下的系数恰为 Legendre 向量场在旧坐标 v^{α} 下的系数, 即

$$e = b^{\alpha} \frac{\partial}{\partial \hat{v}^{\alpha}}. \quad (5.11)$$

下面我们来看一些例子.

例题 5.6. 考虑 2 维 Frobenius 流形

$$F_{\text{Toda}} = \frac{1}{2} v^2 u + \mathbf{e}^u, \quad (5.12)$$

其中平坦坐标 $(v, u) := (v^1, v^2)$, 并且在此坐标下, 度量 $\eta = \begin{pmatrix} & 1 \\ 1 & \end{pmatrix}$. 若取 Legendre 向量场 $b = \frac{\partial}{\partial u}$, 则相应的新坐标为

$$\hat{v} = v, \quad \hat{u} = \mathbf{e}^u,$$

新的势函数为

$$F_{\text{NLS}} = \frac{1}{2} \hat{v}^2 \hat{u} + \frac{\hat{u}^2}{2} \left(\log \hat{u} - \frac{3}{2} \right).$$

这是 Toda 流形与非线性薛定谔 (NLS) 流形之间的变换关系.

例题 5.7. 考虑 2 维 Frobenius 流形

$$F_{\text{Toda}} = \frac{1}{2}v^2u + \mathbf{e}^u, \quad (5.13)$$

其中平坦坐标 $(v, u) := (v^1, v^2)$, 并且在此坐标下, 度量 $\eta = \begin{pmatrix} & 1 \\ 1 & \end{pmatrix}$. 若取 Legendre 向量场 $b = \frac{\partial}{\partial u}$, 则相应的新坐标为

$$\hat{v} = v, \quad \hat{u} = \mathbf{e}^u,$$

新的势函数为

$$F_{\text{NLS}} = \frac{1}{2}\hat{v}^2\hat{u} + \frac{\hat{u}^2}{2} \left(\log \hat{u} - \frac{3}{2} \right).$$

这是 Toda 流形与非线性薛定谔 (NLS) 流形之间的变换关系.

反过来, 也可以通过适当的 Legendre 向量将 Toda 流形变为 Ablowitz-Ladik 流形. 事实上, Toda, NLS 以及 AL 这三者可以通过 Legendre 变换互相得到.

例题 5.8. 考虑 2 维 Frobenius 流形

$$F_{\text{DA}_2} = -\frac{1}{48}v^3 + \frac{3}{32}v^2u^2 - \frac{3}{64}vu^4 + \frac{9}{640}u^6, \quad (5.14)$$

其中平坦坐标 $(v, u) := (v^1, v^2)$, 并且在此坐标下, 度量 $\eta = \begin{pmatrix} & 1 \\ 1 & \end{pmatrix}$. 若取 Legendre 向量场 $b = \frac{\partial}{\partial v}$, 则相应的新坐标 (\hat{v}, \hat{u}) 与旧坐标 (v, u) 满足

$$\begin{cases} \hat{v} = \frac{3}{8}vu - \frac{3}{16}u^3, \\ \hat{u} = -\frac{1}{8}v + \frac{3}{16}u^2, \end{cases}$$

记 $\hat{F} = \hat{F}(\hat{v}, \hat{u})$ 为新的势函数, 则由(5.9)可知

$$\left(\frac{\partial^2 \hat{F}}{\partial \hat{v}^\alpha \partial \hat{v}^\beta} \right) = \left(\frac{\partial^2 F_{\text{DA}_2}}{\partial v^\alpha \partial v^\beta} \right) = \begin{pmatrix} \hat{u} & \hat{v} \\ \hat{v} & 12\hat{u}^2 \end{pmatrix},$$

因此 \hat{F} 可以取为

$$\hat{F} = \frac{1}{2} \hat{v}^2 \hat{u} + \hat{u}^4,$$

这刚好是 A_2 -流形的势函数 F_{A_2} .

事实上, 笔者强烈怀疑(5.14)这个 (广义)Frobenius 流形与 A_2 -型奇点有密切联系.

5.2 中心不变量的简便计算

设 $(\mathcal{P}_1, \mathcal{P}_2)$ 是半单的流体力学型双哈密顿结构, 其在局部坐标 v^α 下有表达式

$$\mathcal{P}_a^{\alpha\beta} = g_a^{\alpha\beta} \partial_x + \Gamma_{\gamma;a}^{\alpha\beta} v_x^\gamma \quad (a = 1, 2).$$

众所周知, $g_a := (g_a^{\alpha\beta})$ 是平坦的 (伪) 黎曼 (反变) 度量, $\{\Gamma_{\gamma;a}^{\alpha\beta}\}$ 是度量 g_a 的 Levi-Civita 联络的 (反变) Christoffel 系数 ($a = 1, 2$). 关于参数 λ 的方程 $\det(g_2 - \lambda g_1) = 0$ 的 n 个不同的根 u^1, \dots, u^n 构成底流形上的一组局部坐标, 称为正则坐标 (canonical coordinate). 反变度量 g_a ($a = 1, 2$) 在正则坐标 u^i 下形如下述对角型

$$g_1^{ij} = \delta^{ij} f^i, \quad g_2^{ij} = \delta^{ij} u^i f^i, \quad (5.15)$$

其中 f^1, \dots, f^n 是底流形上的光滑函数.

我们一直习惯用拉丁字母 i, j, k, \dots 表示张量在正则坐标 u^i 下的系数分量, 而用希腊字母 $\alpha, \beta, \gamma, \dots$ 表示张量在一般坐标 v^α 下的系数分量. 此外, 对于 (模长足够大的) 参数 $\lambda \in \mathbb{C}$, 我们记

$$g_\lambda := g_2 - \lambda g_1, \quad \mathcal{P}_\lambda := \mathcal{P}_2 - \lambda \mathcal{P}_1. \quad (5.16)$$

设 $(\tilde{\mathcal{P}}_1, \tilde{\mathcal{P}}_2)$ 是上述双哈密顿结构 $(\mathcal{P}_1, \mathcal{P}_2)$ 的一个形变, 其形如

$$\begin{aligned}\tilde{\mathcal{P}}_a^{\alpha\beta} &= \mathcal{P}_a^{\alpha\beta} + \sum_{s \geq 1} \varepsilon^s \left(\sum_{t=0}^{s+1} P_{s,t;a}^{\alpha\beta} \partial_x^t \right) \\ &= g_a^{\alpha\beta} \partial_x + \Gamma_{\gamma;a}^{\alpha\beta} v_x^\gamma \\ &\quad + \varepsilon (H_a^{\alpha\beta} \partial_x^2 + \cdots) + \varepsilon^2 (K_a^{\alpha\beta} \partial_x^3 + \cdots) + O(\varepsilon^3),\end{aligned}\tag{5.17}$$

这里的 ε 为无穷小形变参数, $P_{s,t;a}^{\alpha\beta}$ 是底流形的 jet 空间上的齐次微分多项式, 其微分分次为 $s+1-t$. 我们特别关心一阶与二阶形变项的领头项 $H_a = (H_a^{\alpha\beta})$, $K_a = (K_a^{\alpha\beta})$, 并注意到

$$H_a^{\alpha\beta} = -H_a^{\beta\alpha}, \quad K_a^{\alpha\beta} = K_a^{\beta\alpha}.$$

类似地, 对于参数 λ , 我们也记

$$H_\lambda := H_2 - \lambda H_1, \quad K_\lambda := K_2 - \lambda K_1.\tag{5.18}$$

一个重要的结果是, 半单双哈密顿结构 $(\mathcal{P}_1, \mathcal{P}_2)$ 的形变的 Miura 变换等价类能够被一族单变量光滑函数 $c_i = c_i(u)$, $i = 1, 2, \dots, n$ 所完全刻画, 这 n 个函数 c_i 称为该形变的**中心不变量**. 换言之, $(\mathcal{P}_1, \mathcal{P}_2)$ 的两个形变是 Miura 变换等价的, 当且仅当它们有相同的中心不变量. 在正则坐标 u^i 下, 中心不变量 c_i 的定义为

$$c_i = \frac{1}{3(f^i)^2} \left(K_2^{ii} - u^i K_1^{ii} + \sum_{k \neq i} \frac{(H_2^{ki} - u^i H_1^{ki})^2}{f^k(u^k - u^i)} \right).\tag{5.19}$$

按道理说, 上式右边应该是底流形上的光滑函数; 然而可以证明 c_i 只与第 i 个正则坐标分量 u^i 有关, 即 $c_i = c_i(u^i)$ 自然被视为单变量函数. 此外, 从上式可见中心不变量只与低阶形变项的领头项 H_a, K_a 有关.

我们在研究半单双哈密顿结构的形变的具体例子时, 往往要具体计算相应的中心不变量. 直接用定义式(5.19)来计算并不是好主意, 其计算量往往巨大而恐怖. 我们迫切需要简洁高效的算法.

感谢 Falqui, Lorenzoni 提供如下方法:

定理 5.9. 记号承上, 引入张量

$$A_\lambda := K_\lambda + \frac{1}{2} H_\lambda^T g_\lambda^{-1} H_\lambda, \quad (5.20)$$

则中心不变量 $c_i = c_i(u^i)$ 满足

$$c_i = -\frac{1}{3f^i} \text{Res}_{\lambda=u^i} \text{tr} (g_\lambda^{-1} A_\lambda). \quad (5.21)$$

注意 g_λ 与 A_λ 都是 $(2, 0)$ -型张量, 从而 $g_\lambda^{-1} A_\lambda$ 是 $(1, 1)$ -型张量, 于是函数 $\text{tr} (g_\lambda^{-1} A_\lambda)$ 在底流形上整体定义, 不依赖局部坐标选取.

证明. 注意在正则坐标 u^i 下有 $(g_\lambda^{-1})_{ij} = -\frac{\delta_{ij}}{f^i} \frac{1}{\lambda - u^i}$, 从而

$$\begin{aligned} \text{tr} (g_\lambda^{-1} A_\lambda) &= \sum_{k=1}^n (g_\lambda^{-1})_{kk} A_\lambda^{kk} \\ &= -\sum_{k=1}^n \frac{1}{f^k (\lambda - u^k)} \left(K_\lambda^{kk} + \frac{1}{2} \sum_{\ell \neq k} \frac{(H_\lambda^{\ell k})^2}{f^\ell (u^\ell - \lambda)} \right) \\ &= -\sum_{k=1}^n \frac{K_\lambda^{kk}}{f^k (\lambda - u^k)} + \frac{1}{2} \sum_{\substack{k, \ell=1 \\ k \neq \ell}}^n \frac{(H_\lambda^{k\ell})^2}{f^k f^\ell (\lambda - u^k) (\lambda - u^\ell)} \\ &= -\sum_{k=1}^n \frac{K_\lambda^{kk}}{f^k (\lambda - u^k)} + \sum_{k=1}^n \sum_{\ell \neq k} \frac{(H_\lambda^{k\ell})^2}{f^k f^\ell (u^k - u^\ell)} \frac{1}{\lambda - u^k}, \end{aligned}$$

于是立刻得到

$$\text{Res}_{\lambda=u^i} \text{tr} (g_\lambda^{-1} A_\lambda)$$

$$= -\frac{1}{f^i} \left(K_2^{ii} - u^i K_1^{ii} + \sum_{k \neq i} \frac{(H_2^{ki} - u^i H_1^{ki})^2}{f^k (u^k - u^i)} \right) = -3f^i c_i,$$

定理得证. □

我们通过具体例子来看如何用公式(5.21)来计算中心不变量.

例 5.10. 考虑 Boussinesq 方程的双哈密顿结构

$$\begin{aligned} \tilde{\mathcal{P}}_1 &= \begin{pmatrix} \partial_x \\ \partial_x \end{pmatrix}, \\ \tilde{\mathcal{P}}_2 &= \begin{pmatrix} 2V\partial_x + V_x + \varepsilon^2 \partial_x^3 & 3U\partial_x + 2U_x \\ 3U\partial_x + U_x & \mathcal{Q} \end{pmatrix}, \end{aligned}$$

其中坐标函数 $V := v^1, U := v^2$, 并且

$$\mathcal{Q} := \frac{16}{3}V\partial_x V + \varepsilon^2 \left(\frac{5}{3}V\partial_x^3 + \frac{5}{3}\partial_x^3 V - V_{xx}\partial_x - \partial_x V_{xx} \right) + \frac{\varepsilon^4}{3}\partial_x^5.$$

试计算 $(\tilde{\mathcal{P}}_1, \tilde{\mathcal{P}}_2)$ 的中心不变量.

解. 直接计算可知张量 g_a, H_a, K_a ($a = 1, 2$) 在 $(P, Q) = (v^1, v^2)$ 坐标下的系数矩阵分别为

$$g_1 = \begin{pmatrix} 0 & 1 \\ 1 & 0 \end{pmatrix}, \quad g_2 = \begin{pmatrix} 2V & 3U \\ 3U & \frac{16}{3}V^2 \end{pmatrix},$$

$$H_1 = H_2 = K_1 = 0, \quad K_2 = \begin{pmatrix} 1 & 0 \\ 0 & \frac{10}{3}V \end{pmatrix}.$$

于是在 (V, U) 坐标下直接计算可得

$$\mathrm{tr} (g_\lambda^{-1} A_\lambda) = -\frac{12V^2}{\lambda^2 - 6U\lambda + (9U^2 - \frac{32}{3}V^3)}.$$

接下来求解关于 λ 的方程 $\det(g_\lambda) = 0$ 得正则坐标

$$\begin{aligned} u^1 &= 3U - \frac{4\sqrt{6}}{3}V^{\frac{3}{2}}, \\ u^2 &= 3U + \frac{4\sqrt{6}}{3}V^{\frac{3}{2}}, \end{aligned}$$

之后通过坐标变换可得 g_1 在 (u^1, u^2) 坐标下的系数矩阵的对角元

$$f^1 = -12\sqrt{6V}, \quad f^2 = 12\sqrt{6V}.$$

最后将相关数据代入公式(5.21), 直接计算得中心不变量

$$c_1 = c_2 = \frac{1}{48}.$$

至少是常中心不变量, 也还行. □

例题 5.11. 考虑 2 分量 Camassa-Holm 方程的双哈密顿结构

$$\begin{aligned} \tilde{\mathcal{P}}_1 &= \begin{pmatrix} & \partial_x - \varepsilon \partial_x^2 \\ \partial_x + \varepsilon \partial_x^2 & \end{pmatrix}, \\ \tilde{\mathcal{P}}_2 &= \begin{pmatrix} 2V\partial_x + V_x & U\partial_x \\ \partial_x U & -2\partial_x \end{pmatrix}, \end{aligned}$$

其中坐标函数 $V := v^1, U := v^2$. 试计算 $(\tilde{\mathcal{P}}_1, \tilde{\mathcal{P}}_2)$ 的中心不变量.

解. 直接计算可知张量 g_a, H_a, K_a ($a = 1, 2$) 在 $(P, Q) = (v^1, v^2)$ 坐标下的系数矩阵分别为

$$g_1 = \begin{pmatrix} 0 & 1 \\ 1 & 0 \end{pmatrix}, \quad g_2 = \begin{pmatrix} 2V & U \\ U & -2 \end{pmatrix},$$

$$H_1 = \begin{pmatrix} 0 & -1 \\ 1 & 0 \end{pmatrix} \quad H_2 = K_1 = K_2 = 0,$$

于是在 (V, U) 坐标下直接计算可得

$$\mathrm{tr}(g_\lambda^{-1}A_\lambda) = -\frac{\lambda^2}{\lambda^2 - 2U\lambda + (4V + U^2)}$$

接下来求解关于 λ 的方程 $\det(g_\lambda) = 0$ 得正则坐标

$$\begin{aligned} u^1 &= U - 2iV^{\frac{1}{2}}, \\ u^2 &= U + 2iV^{\frac{1}{2}}, \end{aligned}$$

之后通过坐标变换可得 g_1 在 (u^1, u^2) 坐标下的系数矩阵的对角元

$$f^1 = -2iV^{-\frac{1}{2}}, \quad f^2 = 2iV^{-\frac{1}{2}}.$$

最后将相关数据代入公式(5.21), 直接计算得中心不变量

$$\begin{aligned} c_1 &= -\frac{1}{24}(u^1)^2, \\ c_2 &= -\frac{1}{24}(u^2)^2. \end{aligned}$$

□

例题 5.12. 考虑 Toda 方程簇的双哈密顿结构

$$\begin{aligned} \tilde{\mathcal{P}}_1 &= \begin{pmatrix} 0 & \Lambda - 1 \\ 1 - \Lambda^{-1} & 0 \end{pmatrix}, \\ \tilde{\mathcal{P}}_2 &= \begin{pmatrix} \Lambda \mathbf{e}^u - \mathbf{e}^u \Lambda^{-1} & v(\Lambda - 1) \\ (1 - \Lambda^{-1})v & (\Lambda - \Lambda^{-1}) \end{pmatrix}, \end{aligned}$$

其中坐标函数 $v := v^1, u := v^2$, 而 $\Lambda := \mathbf{e}^{\varepsilon \partial_x}$ 为平移算子. 试计算 $(\tilde{\mathcal{P}}_1, \tilde{\mathcal{P}}_2)$ 的中心不变量.

解. 直接计算可知张量 g_a, H_a, K_a ($a = 1, 2$) 在 $(v, u) = (v^1, v^2)$ 坐标下的系数矩阵分别为

$$\begin{aligned} g_1 &= \begin{pmatrix} 0 & 1 \\ 1 & 0 \end{pmatrix}, & g_2 &= \begin{pmatrix} 2\mathbf{e}^u & v \\ v & 2 \end{pmatrix}, \\ H_1 &= \begin{pmatrix} 0 & \frac{1}{2} \\ -\frac{1}{2} & 0 \end{pmatrix}, & H_2 &= \begin{pmatrix} 0 & \frac{1}{2}v \\ -\frac{1}{2}v & 0 \end{pmatrix}, \\ K_1 &= \begin{pmatrix} 0 & \frac{1}{6} \\ \frac{1}{6} & 0 \end{pmatrix}, & K_2 &= \begin{pmatrix} \frac{1}{3}\mathbf{e}^u & \frac{1}{6}v \\ \frac{1}{6}v & \frac{1}{3} \end{pmatrix}, \end{aligned}$$

于是在 (v, u) 坐标下直接计算可得

$$\mathrm{tr}(g_\lambda^{-1}A_\lambda) = \frac{1}{3} - \frac{(\lambda - v)^2}{4(\lambda^2 - 2v\lambda + (v^2 - 4\mathbf{e}^u))}$$

接下来求解关于 λ 的方程 $\det(g_\lambda) = 0$ 得正则坐标

$$\begin{aligned} u^1 &= v - 2\mathbf{e}^{\frac{u}{2}}, \\ u^2 &= v + 2\mathbf{e}^{\frac{u}{2}}, \end{aligned}$$

之后通过坐标变换可得 g_1 在 (u^1, u^2) 坐标下的系数矩阵的对角元

$$f^1 = -2\mathbf{e}^{\frac{u}{2}}, \quad f^2 = 2\mathbf{e}^{\frac{u}{2}}.$$

将相关数据代入公式(5.21)可得中心不变量

$$c_1 = c_2 = \frac{1}{24}.$$

果然是 $\frac{1}{24}$, 如此甚好. □

例题 5.13. 考虑 Ablowitz-Ladik 方程簇的双哈密顿结构

$$\begin{aligned}\tilde{\mathcal{P}}_1 &= \begin{pmatrix} Q\Lambda^{-1} - \Lambda Q & (1 - \Lambda)Q \\ Q(\Lambda^{-1} - 1) & 0 \end{pmatrix}, \\ \tilde{\mathcal{P}}_2 &= \begin{pmatrix} 0 & P(\Lambda - 1)Q \\ Q(1 - \Lambda^{-1})P & Q(\Lambda - \Lambda^{-1})P \end{pmatrix},\end{aligned}$$

其中坐标函数 $P := v^1$, $Q := v^2$, 而 $\Lambda := e^{\varepsilon\partial_x}$ 为平移算子. 试计算 $(\tilde{\mathcal{P}}_1, \tilde{\mathcal{P}}_2)$ 的中心不变量.

解. 直接计算可知张量 g_a, H_a, K_a ($a = 1, 2$) 在 $(P, Q) = (v^1, v^2)$ 坐标下的系数矩阵分别为

$$\begin{aligned}g_1 &= \begin{pmatrix} -2Q & -Q \\ -Q & 0 \end{pmatrix}, & g_2 &= \begin{pmatrix} 0 & PQ \\ PQ & 2Q^2 \end{pmatrix}, \\ H_1 &= \begin{pmatrix} 0 & -\frac{1}{2}Q \\ \frac{1}{2}Q & 0 \end{pmatrix}, & H_2 &= \begin{pmatrix} 0 & \frac{1}{2}PQ \\ -\frac{1}{2}PQ & 0 \end{pmatrix}, \\ K_1 &= \begin{pmatrix} -\frac{1}{3}Q & -\frac{1}{6}Q \\ -\frac{1}{6}Q & 0 \end{pmatrix}, & K_2 &= \begin{pmatrix} 0 & \frac{1}{6}PQ \\ \frac{1}{6}PQ & \frac{1}{3}Q^2 \end{pmatrix},\end{aligned}$$

于是在 (P, Q) 坐标下直接计算可得

$$\mathrm{tr}(g_\lambda^{-1}A_\lambda) = \frac{1}{12} - \frac{Q\lambda}{\lambda^2 + (2P - 4Q)\lambda + P^2}.$$

接下来求解关于 λ 的方程 $\det(g_\lambda) = 0$ 得正则坐标

$$\begin{aligned}u^1 &= -P + 2Q - 2\sqrt{Q^2 - PQ}, \\ u^2 &= -P + 2Q + 2\sqrt{Q^2 - PQ},\end{aligned}$$

之后通过坐标变换可求得度量 g_1 在 (u^1, u^2) 坐标下的系数矩阵的对角元 f^1, f^2 , 其表达式复杂, 这里从略. 最后将相关数据代入公式(5.21)并交给计算机暴力计算, 求得中心不变量

$$c_1 = c_2 = \frac{1}{24}.$$

果然是 $\frac{1}{24}$, 如此甚好.

□